



Budapesti Műszaki és Gazdaságtudományi Egyetem
Villamosmérnöki és Informatikai Kar
Szélessávú Hírközlés és Villamosságtan Tanszék

Püspöki Péter
SMOG-2 elsődleges energiaellátó rendszere
Szakdolgozat

Konzulens
dr. Dudás Levente
Budapest, 2021

HALLGATÓI NYILATKOZAT

Alulírott Püspöki Péter, szigorló hallgató kijelentem, hogy ezt a szakdolgozatot meg nem engedett segítség nélkül, saját magam készítettem, csak a megadott forrásokat (szakirodalom, eszközök stb.) használtam fel. Minden olyan részt, melyet szó szerint, vagy azonos értelemben, de átfogalmazva más forrásból átvettem, egyértelműen, a forrás megadásával megjelöltem.

Hozzájárulok, hogy a jelen munkám alapadatait (szerző(k), cím, angol és magyar nyelvű tartalmi kivonat, készítés éve, konzulens(ek) neve) a BME VIK nyilvánosan hozzáférhető elektronikus formában, a munka teljes szövegét pedig az egyetem belső hálóján keresztül (vagy autentikált felhasználók számára) közzétegye. Kijelentem, hogy a benyújtott munka és annak elektronikus verziója megegyezik. Dékáni engedéllyel titkosított diplomatervek esetén a dolgozat szövege csak 3 év eltelte után válik hozzáférhetővé.

Budapest, 2021. december 8.

Püspöki Péter

Tartalomjegyzék

1. Bevezetés	6
1.1. Előzmények	6
2. SMOG-2	8
2.1. Környezeti viszonyok az űrben	8
2.2. Mechanikai szerkezet	8
2.3. Rendszerterv	8
2.4. Napelem cella (SC)	10
2.5. Elsődleges energiaellátó rendszer (EPS1)	11
2.6. Központi energiaellátó rendszer (EPS2)	11
2.7. Fedélzeti számítógép (OBC)	12
2.8. Kommunikációs rendszer (COM), és S-sávú adó (STX)	12
2.9. Spektrum analizátor (SP)	12
2.10. Egyéb kísérletek	12
2.11. Földi állomás	13
3. Napelem emulátor	14
4. SMOG-2 elsődleges energiaellátó rendszere	18
4.1. Kapcsolóüzemű tápegység topológiák	18
4.2. Invertáló Buck-Boost konverter	18
4.3. Kapcsolási rajz	19
4.3.1. MOSFET vezérlése	19
4.3.2. Mikrokontroller	20
4.3.3. Áram és feszültség mérése	20
4.3.4. A mikrokontroller tápellátása	21
4.3.5. Telemetria adatok gyűjtése	24
4.4. Prototípus nyomtatott áramkör	25
4.4.1. Panelek	25
4.4.2. A nyomtatott áramkör tervezése és elkészítése	25
4.5. Az áramkör mérése	27
4.5.1. Induktivitás és PWM frekvencia	27
4.5.2. Tekercs és dióda árama	30
4.6. Akkumulátor töltés	32
5. Maximális teljesítményű munkapont követés	34
5.1. MPPT algoritmusok	34
5.1.1. Empirikus alapon működő stratégiák	34
5.1.2. Hegymászó stratégiák	34
5.2. MPPT algoritmus megvalósítása	35

5.2.1. A műhold forgása	37
5.3. Hőmérséklet mérés	38
5.4. Kvalifikációs példány nyákterv	39
6. Összefoglalás és folytatás	41

Kivonat

A SMOG-2 egy PocketQube osztályú 3 PQ méretű ($5 \times 5 \times 15$ cm-es téglatest) műhold, amelyet a Budapesti Műszaki és Gazdaságtudományi Egyetem Szélessávú Hírközlés és Villamosságtan Tanszékén, a Mikrohullámú Távérzékelés Laborban a Műegyetemi Radio Club együttműködésében villamosmérnök hallgatók és oktatók készítenek.

Elsődleges hasznos teherként a fedélzetre kerülő spektrumanalizátor a földi antennák által a világűrbe kisugárzott elektromágneses szennyezést fogja mérni 30 MHz-től 2.6 GHz-ig terjedő frekvenciatartományban.

Az űrben számunkra az egyetlen elérhető megújuló energiaforrás a napfény. A műhold oldalain elhelyezett napelem táblák a Napból érkező sugárzott elektromágneses energiát vezetett elektromos energiává alakítják. A műhold kis mérete korlátozza a rajta elhelyezhető napelemek számát és így a bejövő teljesítményt is. Ahhoz, hogy a cellákból a lehető legtöbb teljesítményt ki tudjuk venni, egy maximális munkapont követő algoritmust alkalmazó tápegységre van szükség, ami tölti a fedélzeten elhelyezett akkumulátorokat.

Dolgozatom célja egy ilyen energia ellátó rendszer kifejlesztése, megépítése és bemérése.

Abstract

SMOG-2 is a PocketQube class 3 PQ size ($5 \times 5 \times 15$ cm cuboid) developed by electrical engineer students and lecturers at the Department of Broadband Infocommunications of the Budapest University of Technology and Economics in the Microwave Remote Sensing Laboratory in cooperation with the Radio Club of Budapest University of Technology and Economics.

The primary payload of the satellite is a spectrum analyzer that will measure the electromagnetic pollution emitted by terrestrial antennas into space in the frequency range of 30 MHz to 2.6 GHz.

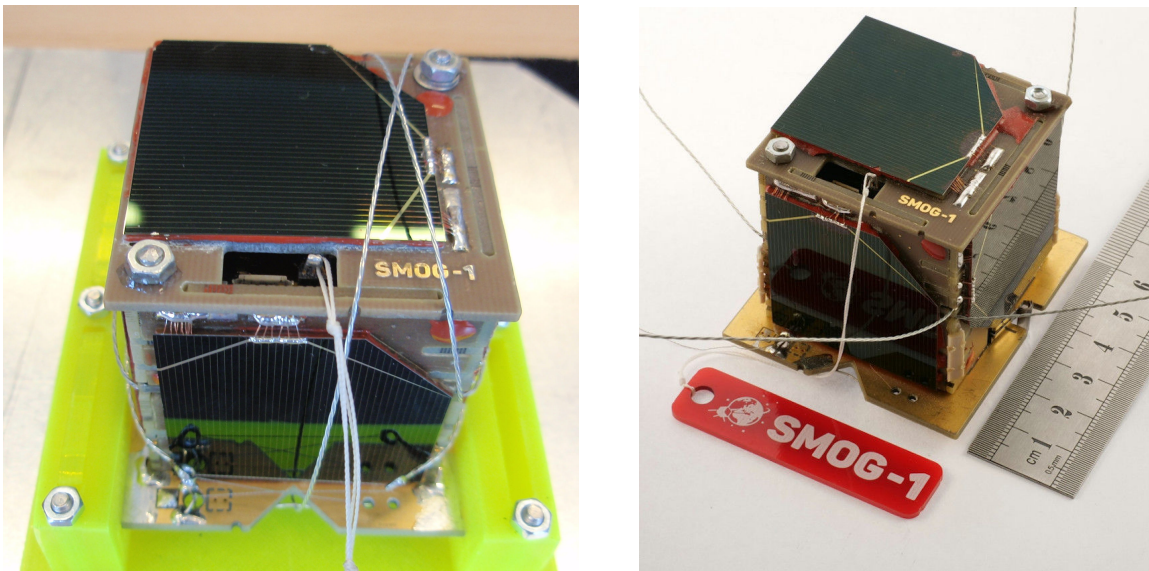
In space the only renewable energy source available to us is sunlight. Solar panels are placed on the sides of the satellite that can convert the radiated electromagnetic energy into conducted electrical energy. The small size of the satellite limits the number of solar panels that can be placed on it and thus also the incoming power. In order to extract as much power as possible from the cells a maximal power point tracking algorithmic power supply is required to be used that can charge the batteries placed onboard.

The aim of my dissertation is to develop, build and measure such an energy supply system.

1. fejezet

Bevezetés

1.1. Előzmények

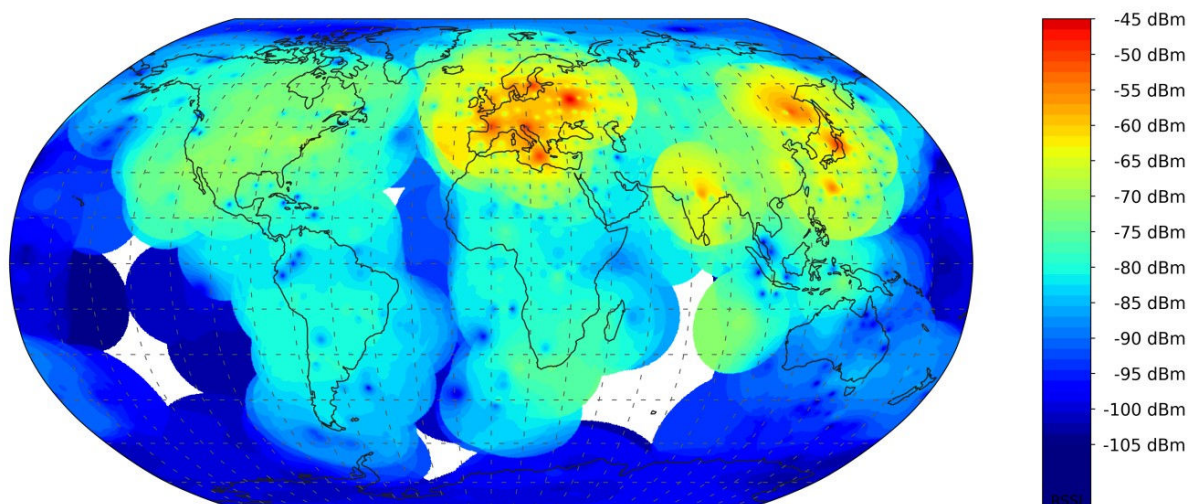


1.1. ábra. SMOG-P és SMOG-1 [1]

A fenti képeken a SMOG-P és a SMOG-1 műholdak láthatóak, amelyek a Budapesti Műszaki és Gazdaságtudományi Egyetemen készültek. (1PQ méretű PocketQube, $5 \times 5 \times 5$ cm)

A digitális földfelszíni TV adók által kisugárzott rádióhullámok nemcsak a földfelszínen lévő vevőkészülékek irányába terjednek, hanem az űrbe is kijutnak. Ez a Föld körül keringő műholdak kommunikációja számára zavaró lehet, másrészt az adó állomások nem megfelelően irányított antennái miatt ez jelentős energia pazarlást jelent.

A SMOG-P és a SMOG-1 műholdak elsődleges küldetése az volt, hogy a fedélzetükön elhelyezett 430–860 MHz-es sávban működő spektrumanalizátor segítségével megmérjék a Föld körüli pályájukon ezt az elektroszmogot. A méréseik alapján elkészült a világon először a Földet körülvevő elektromágneses szennyezettséget ábrázoló térkép, ez látható az 1.2. ábrán.



1.2. ábra. A SMOG-P mérései alapján készített elektroszmog-térkép [2]

Erről a térképről látható, hogy mennyire pazarlóak a földfelszíni műsorszóró és egyéb telekommunikációs szolgáltatók által jelenleg használt rendszerek. A kibocsájtott jelek jelentős része nem a felhasználókhoz jut el hanem a világűrbe, ahol akkora fedőtérerősséget hoznak létre, hogy a műholdvezérlő földi állomásoknak több 10, akár több 100 W-os adóteljesítményre van szükségük.

Egy ilyen térkép segíthet a legtöbb szennyezést kibocsájtó területek meghatározásában.

Az eddigi méréseink alapján a földfelszíni TV adók frekvenciáján jelentős elektroszmog mérhető a Föld körül. Felmerülhet a kérdés, hogy más frekvenciákon is hasonló-e a helyzet. Ennek a megválaszolására készítjük el a SMOG műholdak következő példányát, a SMOG-2-t.

2. fejezet

SMOG-2

2.1. Környezeti viszonyok az űrben

Ahhoz, hogy a műhold az űr szélsőséges körülményei között is megbízhatóan működjön, a létfontosságú alrendszereket redundánsan kell tervezni, hogy egy pont meghibásodás ellen védettek legyenek. Ez azt jelenti, hogy ha bármelyik alkatrész meghibásodik, átmegy szakadásba vagy rövidzárba, a műholdnak akkor is működőképesnek kell maradnia. Az elsődleges energia ellátó rendszer esetében a tartalékolás rendszerszinten valósul meg, egymástól függetlenül működő áramkörök tartoznak minden napelemoldalhoz.

Az űrben a termikus körülmények lényegesen eltérnek a földihez képest. A naptól érkező sugárzás jelentősen fel tudja melegíteni a műholdnak az oldalait. Földárnyékban viszont 2,7 Kelvines hőmérsékletű háttérsugárzás mellett nagyon le tud hűlni a műhold. A fedélzeten található alkatrészek nagy része -40°C -tól akár 85°C -ig is működik, azonban az akkumulátor 0°C felett használható, így annak a megfelelő hőmérsékleten való tartása kiemelten fontos. A hő terjedését jelentősen befolyásolja az űrben található vákuum, közeg általi hő szállításra itt nincs lehetőség. A hőt termelő alkatrészek hűtése csak hővezetéssel és hősugárzással lehetséges.

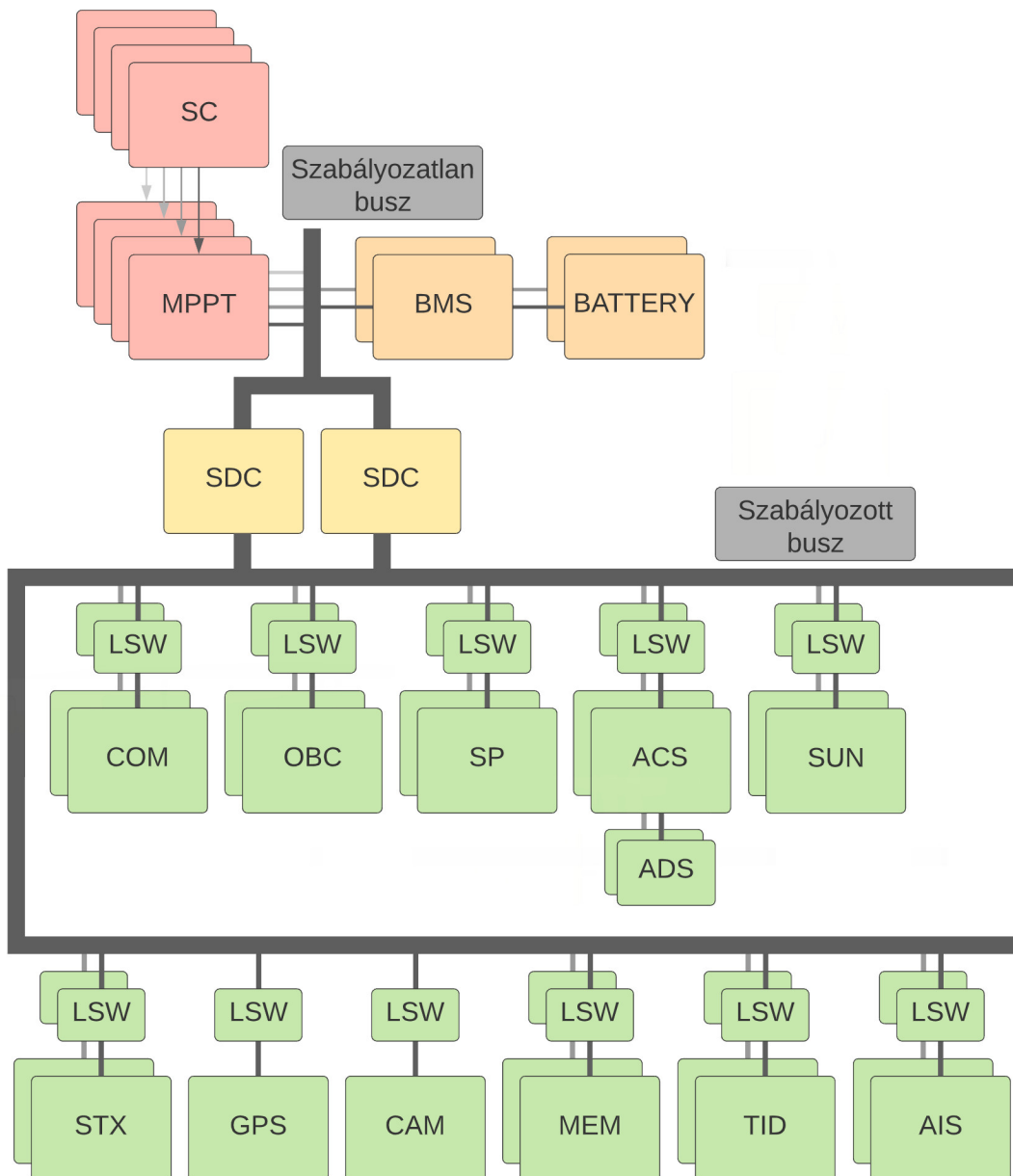
2.2. Mechanikai szerkezet

Minden oldal- és belső lemez 1,6 mm-es FR-4 NYÁK-lemezből készül. Ennek köszönhetően minden felületre kerülhet elektronika.

2.3. Rendszerterv

A műhold rendszerterve a 2.1. ábrán látható. A pirossal jelölt rész az elsődleges energia ellátó rendszer, a narancssárga a energia tároló rendszer, a citromsárga a másodlagos energia ellátó rendszer, a zöld pedig a szabályzott buszról működő alrendszerek.

A napelemből illetve a hozzájuk tartozó MPPT áramkörből négy darab kerül a műholdra, a többi alrendszer körül a legtöbbből a redundancia megvalósítása céljából két példány lesz.



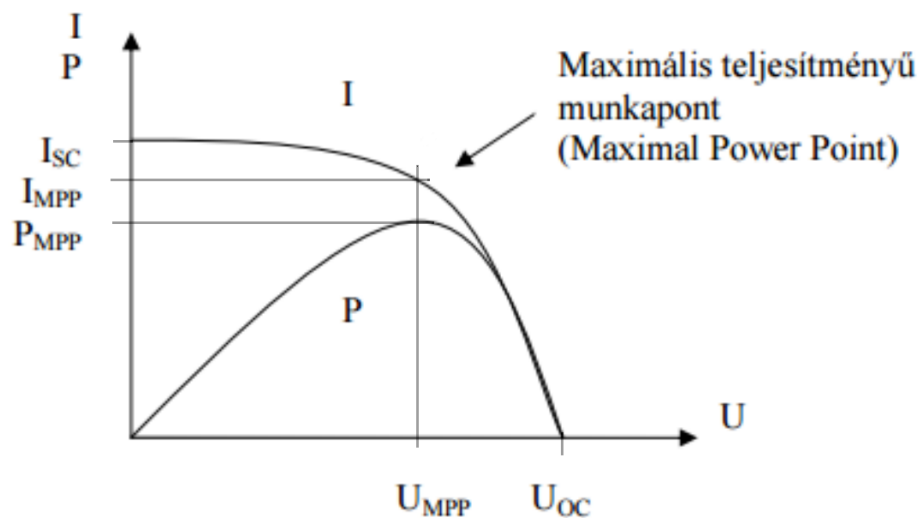
2.1. ábra. A SMOG-2 rendszerterve

- SC: Solar Cell; Napelem cella
- MPPT: Maximal power point tracker; Maximális munkapont követő áramkör
- BMS: Battery Management System; Akkumulátor védő elektronikája
- BATTERY: Akkumulátor
- SDC: Step Down Converter; Feszültség csökkentő áramkör
- LSW: Limiter Switch; Túláram védő kapcsoló
- COM: Communication; Kommunikációs egység
- OBC: On Board Computer; Fedélzeti számítógép
- SP: Spectrum Analyzer; Spektrumanalizátor

- ACS: Attitude Control System; Helyzet szabályozó rendszer
- ADS: Attitude Determination System; Helyzet meghatározó rendszer
- SUN: Sun sensor; Nap szenzor
- STX: S-band transmitter; S sávú adó
- GPS: Global Positioning System; Globális helymeghatározó rendszer
- CAM: Camera; Kamera
- MEM: Memory; Memória
- TID: Total Ionizing Dose; Totál ionizáló dózis mérő
- AIS: Automatic Identification System; Automatikus azonosító rendszer

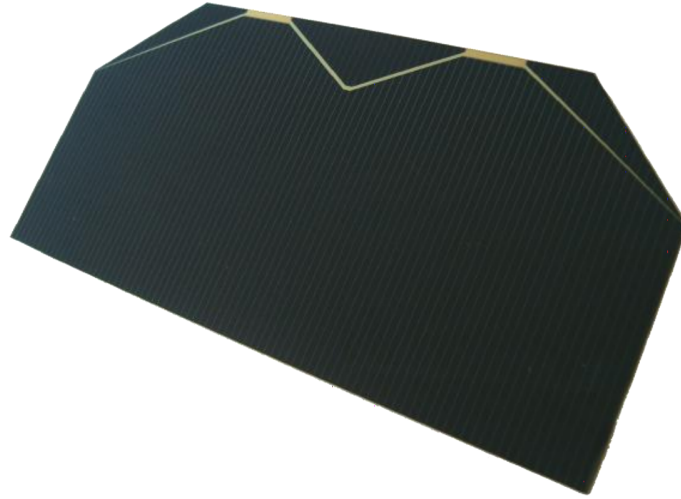
2.4. Napelem cella (SC)

Az ilyen kisméretű műholdak számára az egyetlen lehetséges energiaforrás az űrben a napfény, ebből kell biztosítani a műholdak számára szükséges energiát. A műhold két kisebb 5×5 cm-es oldalát antennák foglalják majd el, napelemek csak a négy nagyobbik oldalon lesznek. Ezeken az oldalakon kettő darab napelem cellának van hely. Minden oldalhoz tartozik egy maximális munkapont követő áramkör, ami biztosítja, hogy a napelemkből a lehető legtöbb teljesítményt fel tudjuk használni.



2.2. ábra. A napelemcella áram-feszültség karakterisztikája [3]

A műholdakon használt napelemcella az Azur Space [4] által gyártott TJ Solar Cell 3G30C - Advanced típusú három rétegű (GaInP/GaAs/Ge) napelemcella [5].



2.3. ábra. TJ Solar Cell 3G30C [4]

A naptól elektromágneses sugárzás formájában nagyjából 1360 W teljesítmény érkezik egy négyzetméter felületre. A műhold hatból négy oldalmezein elhelyezkedő napelem táblák mérete 40×80 mm, ezeknek a két sarkán $13,5 \times 13,5$ mm-es letörések találhatók. A napelemek hatásfoka az űrben 28,5% körül van és a műhold tervezett pályájának a tulajdonságaiból adódóan, a keringési idő 60%-át fogja napon tölteni. Ezen paraméterek ismeretében kiszámítható a körátlagra vonatkoztatott DC bejövő teljesítmény:

$$P_{DC} = 1360 \text{ W} \cdot \frac{(40 \text{ mm} \cdot 80 \text{ mm} - (13,5 \text{ mm} \cdot 13,5 \text{ mm})) \cdot 2}{(1000 \text{ mm} \cdot 1000 \text{ mm}) \cdot 4/6} = 935,74 \text{ mW} \quad (2.1)$$

A Naptól érkező sugárzás egy részét a légkör elnyeli, ezért az űrben tapasztalható 1360 W/m^2 helyett a Föld felszínén nagyjából 1000 W/m^2 -rel lehet számolni. Így a bejövő átlag teljesítmény a 2.1. képlet alapján 688,05 mW lesz. A tervezéskor célszerű ezt az értéket használni, hiszen ezzel tudjuk tesztelni a műholdat, illetve ha így is sikerül pozitív energia mérleget elérni, akkor az űrben ennél még kedvezőbb lesz a helyzet.

2.5. Elsődleges energiaellátó rendszer (EPS1)

Elsődleges energiaellátó rendszer feladata a napelemekhez tartozó MPPT áramkör segítségével ellátni a műholdat a működéséhez szükséges energiával. A feszültségszabályzó áramkörei a napelemekről dolgozva a műhold szabályozatlan energiabuszára állítanak elő az akkumulátor töltéséhez megfelelő feszültséget.

2.6. Központi energiaellátó rendszer (EPS2)

A központi energiaellátó rendszer feladata a szabályozatlan feszültségű buszból előállítani egy szabályzott energiabuszt, amiről a többi alrendszer tud működni. Az EPS2 része egy feszültségcsökkentő kapcsolás, az SDC (step down konverter), amely a fedélzeten található alrendszerek részére állít elő 3,3 V-os feszültséget. Ehhez az áramkörhöz tartozik még a PCU (power control unit) vezérlő egysége, amely vezérli az alrendszerek energia ellátását.

2.7. Fedélzeti számítógép (OBC)

A műhold fedélzeti számítógépe felelős a mérési feladatok ütemezéséért, a mérési és telemetria adatok flash memóriában történő tárolásáért, illetve a földi állomástól érkező parancsok végrehajtásáért. Az alkalmazott processzor egy PIC32MK1024GPK064 típusú IC. A fedélzeti számítógép és minden alrendszer között meg van valósítva egy kommunikációs csatorna, ezek nagy része fél-duplex UART protokollt használ, így alrendszerenként egy-egy vezetékre és mikrokontroller lábra van szükség.

2.8. Kommunikációs rendszer (COM), és S-sávú adó (STX)

A kommunikációs rendszer feladata a földi állomással való kapcsolat megvalósítása. A kommunikáció 70 cm-es amatőr sávban történik. Ez az rendszer fogadja a földi állomástól érkező vezérlőparancsokat, illetve küldi a mérési és telemetria adatokat.

A műholdon helyet kap egy S sávban működő adó is, ezzel lényegesen nagyobb adatátviteli sebességet lehet elérni, ami a sok kísérlet által generált adatok letöltését segíti.

2.9. Spektrum analizátor (SP)

A SMOG-2 elsődleges küldetése a SMOG-P és SMOG-1 által már elkezdett elektromágneses szennyezés mérése a fedélzetén elhelyezett, az elődeihez képest kiterjesztett frekvencia tartományban 30 MHz-től 2,6 GHz-ig működő spektrumanalizátor segítségével.

2.10. Egyéb kísérletek

TID

A műholdat érő és az elektronikáját károsító ionizáló sugárzás mérése.

MEM

Szintén a sugárzás hatását vizsgáló kísérlet, egy memóriába ismert adatot írva lehet vizsgálni, hogy az megváltozik-e a műholdat érő sugárzás hatására.

ACS

Aktív elektromágneses helyzet szabályozó rendszer, mellyel a tervek szerint a műhold forgása megállítható lesz, illetve tetszőleges irányba tudjuk majd fordítani a műholdat.

2.11. Földi állomás

A műholddal történő kommunikáció másik oldalán található a földi állomás. Feladata a műholdtól érkező adatok vétele és a vezérlőparancsok küldése.

Mivel a műhold antennájának nincs túl nagy nyeresége és a kisugárzott teljesítmény sem lehet tetszőlegesen nagy, ezért a Földön kell készíteni egy nagy nyereségű, kis nyálábélességű antennát, amelyet az áthaladó műhold irányába lehet forgatni. Az elsődleges vezérlőállomásunk az Egyetem E épületének tetején található, itt egy 4,5 méter átmérőjű paraboloid reflektorral ellátott hátrafelé sugárzó helix antennát használunk.

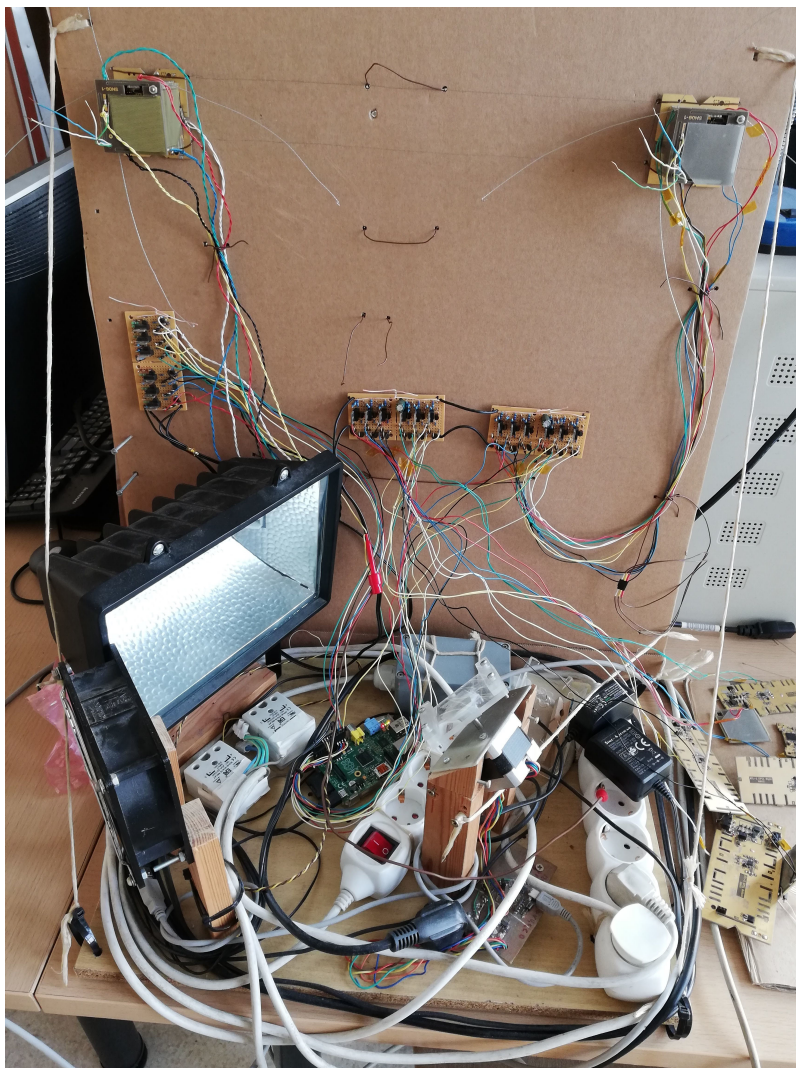


2.4. ábra. Az elsődleges földiállomás antennája

3. fejezet

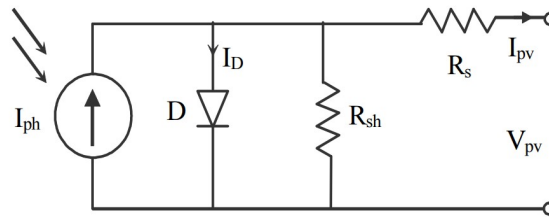
Napelem emulátor

Az energiaellátó rendszer fejlesztése és tesztelése közben szükség van energia forrásra, ez a kész műhold esetében a napelem lesz, viszont ezek használata fejlesztés közben nem célszerű, mivel drágák és rendkívül törékenyek. Másrészt a megvilágításuk is problémákba ütközik, földi körülmények között az űrbeli napfény energiájával és spektrumával megegyező fényt nem lenne egyszerű előállítani.



3.1. ábra. SMOG-P és SMOG-1 teszteléséhez használt napelem emulátor

A 3.1. ábrán látható emulátor tartalmaz egy a napelem cella rövidzárási áramával megegyező áramú tranzisztoros áramforrást és vele párhuzamosan három sorba kötött diódát, melyeknek az együttes nyitófeszültsége a napelem üresjárási feszültségével egyezik meg.



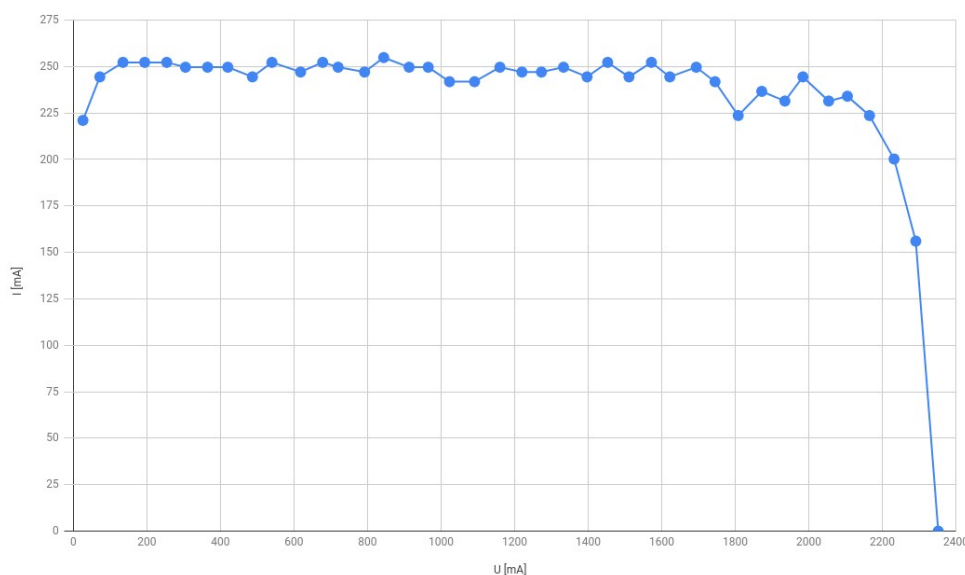
3.2. ábra. Napelem cella ekvivalens áramköri modellje [6]

A napelemcellának az emulálás szempontjából fontos paraméterei az üresjárási feszültsége: $U_{oc} = 2350$ mV, és a rövidzárási árama: $I_{sc} = 505$ mA [5]. A különböző méretű műholdak oldalaira felhelyezhető napelemtáblák paramétereit az alábbi táblázat foglalja össze:

Műhold méret	Napelem cellák elrendezése	I_{sc} [mA]	U_{oc} [mV]
1 PQ ($5 \times 5 \times 5$ cm)	1 cella félbevágva:	252,5	2350
2 PQ ($5 \times 5 \times 10$ cm)	1 teljes cella:	505	2350
3 PQ ($5 \times 5 \times 15$ cm)	2 cella párhuzamosan:	505	4700
	2 cella sorba kötve:	1010	2350

3.1. táblázat. Különböző méretű műholdak napelem elrendezései

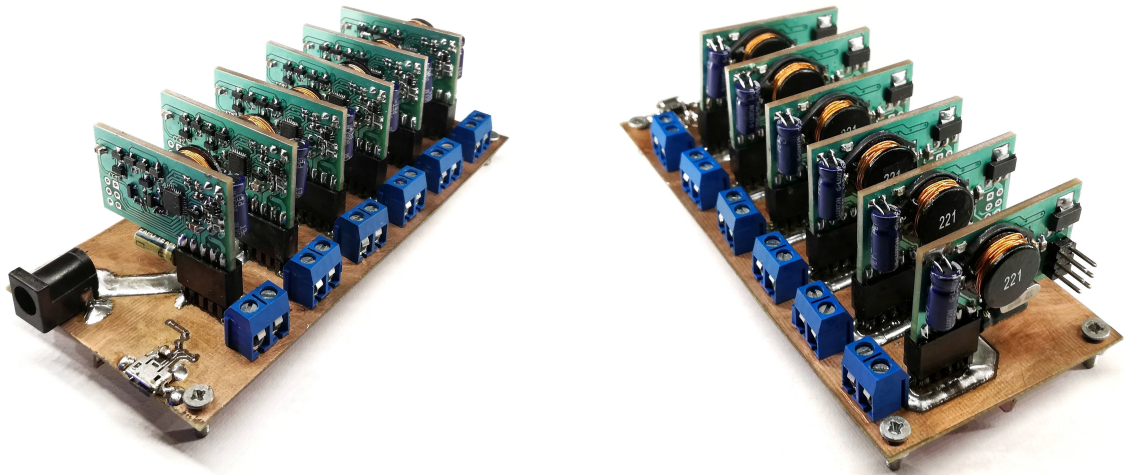
Önállólabor keretében az előző félévben ennek az emulátornak elkészítettem egy továbbfejlesztett változatát. Az általam készített áramkör egy mikrokontroller által vezérelt szinkron buck konverterből áll. Ennek köszönhetően az emulált napelem paramétereit egyszerűen lehet változtatni, így alkalmas több különböző napelem elrendezés emulálására is. Az áramkör kimeneti karakterisztikája a 2.2 ábrán látható.



3.3. ábra. Az emulátor áram-feszültség karakterisztikája

A karakterisztika méréséhez terhelésként egy nagyteljesítményű potmétert használtam, az ellenállásának a változtatás közben mértem az emulátor kimeneti áramát és feszültségét. A mérési eredményből készített karakterisztika a 3.3.ábrán látható.

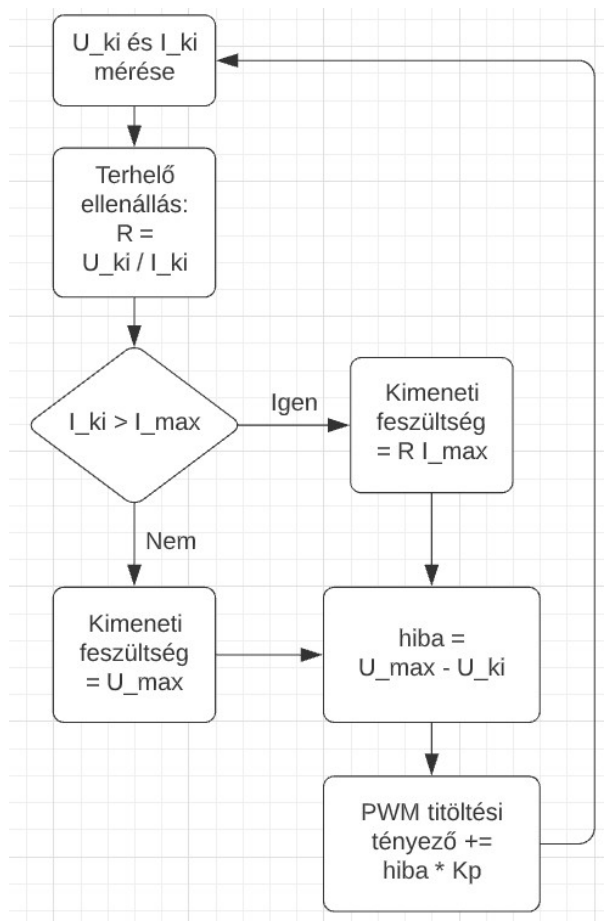
Az emulátor áramkört hat példányban készítettem el, hogy a műhold minden oldalára jusson egy, így a műhold teljes energia ellátását lehet egy időben emulálni.



3.4. ábra. Az emulátor két nézetből

Az előző félévben a hardver elkészítése után már csak arra maradt időm, hogy az áramkör működőképességét igazoló mérések elvégzéséhez szükséges szoftvert megírjam. Ahhoz, hogy az emulátor ténylegesen használható legyen, a mikrovezérlők programját tovább kellett fejlesztenem.

A feszültség szabályzó megvalósítása során először a mikrokontroller egyik időzítőjét állítottam be úgy, hogy az egy milliszekundumonként adjon egy megszakítást, ezzel időzítve az áramkör mérési- és szabályzási ciklusát. A ciklus a kimeneti áram és feszültség mérésével kezdődik, majd ezek ismeretében kiszámítható a kimeneten lévő terhelő ellenállás értéke. Amennyiben a mért kimeneti áram meghaladja a beállított áramkorlátot, az áramkörnek konstans áramú üzemmódban kell tovább működnie. Ezt úgy valósítja meg, hogy a kimeneti feszültséget csökkenti a terhelő ellenállás és az áramkorlát értékének a szorzatára. Ha az áram nem haladja meg a megengedett maximumot, akkor a kimeneti feszültség ismét az emulálni kívánt napelem maximális feszültsége lesz.



3.5. ábra. Az emulátor szabályójának a folyamatábrája

A PWM kitöltési tényezőjének a meghatározása egy P szabályzóval történik, az elérni kívánt és a mért kimeneti feszültség különbségéből számított hibát egy K_p konstanssal szorzom meg. A konstans értékét tapasztalati úton úgy választottam meg, hogy a feszültség beállása kellően gyors és pontos is legyen.

Ezt követően az új kitöltési tényezőt módosítani kell, hogy megfelelő holtidővel elkerüljük a tranzisztorok egymásba vezetését. Ez annyit jelent, hogy az egyik tranzisztor PWM jelének kitöltési tényezőjét egy lépéssel növelem a másikat pedig eggyel csökkentem.

4. fejezet

SMOG-2 elsődleges energiaellátó rendszere

4.1. Kapcsolóüzemű tápegység topológiák

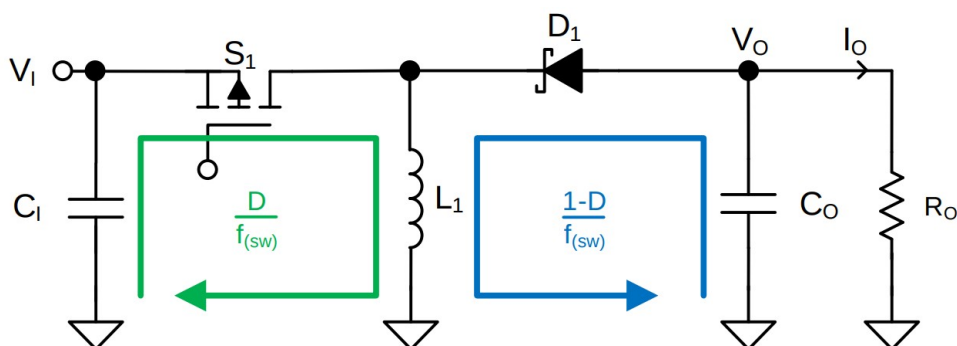
A SMOG-2 négy nagyobbik oldalán két teljes 40×80 mm-es napelem cella lesz elhelyezve, ezeket lehet párhuzamosan vagy sorba kötni. Előbbi esetben az áramuk, míg utóbbiban a feszültségük fog összeadódni.

Párhuzamosan kötött napelemek esetén feszültség növelő kapcsolás segítségével kell a két napelem cella maximális 2350 mV-os feszültségéből előállítani a műholdon használt li-ion akkumulátor töltéséhez szükséges legfeljebb 4,2 V-ot.

Ha a napelemeket sorba kötjük, akkor az összeadódó feszültségük akár 4,7 V is lehet, így feszültség csökkentő kapcsolásra lenne szükség, viszont megvilágítástól függően a feszültségük lehet alacsonyabb is mint az akkumulátoré, így ez az elrendezés buck-boost kapcsolás használatát teszi szükségessé.

Ezeket a paramétereket figyelembe véve döntöttem egy invertáló buck-boost kapcsolás használata mellett.

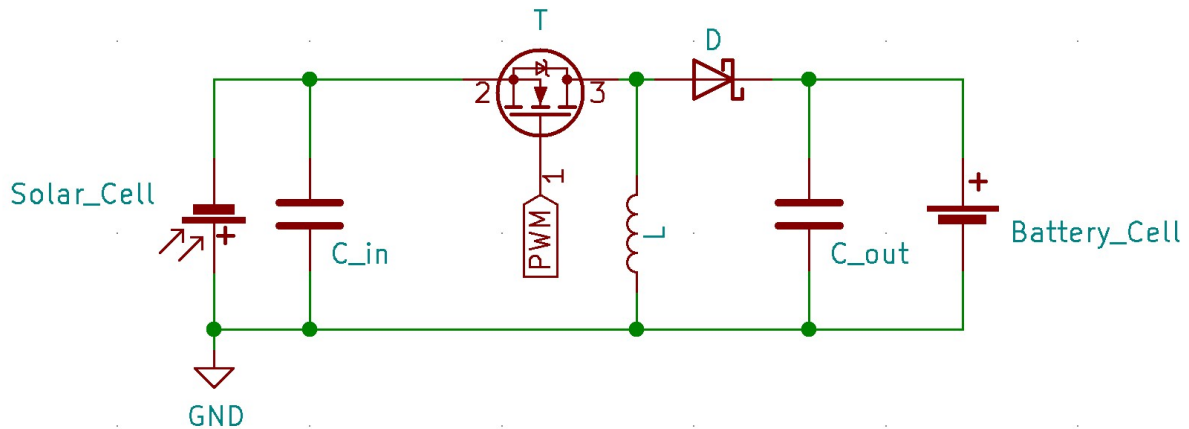
4.2. Invertáló Buck-Boost konverter



4.1. ábra. Az invertáló Buck-Boost konverter egyszerűsített rajza [15]

A megvalósítandó kapcsolóüzemű tápegységnek a feladatai közé tartozik: a napelemből kivenni az adott pillanatban kivehető maximális teljesítményt MPPT algoritmus segítsé-

gével, feszültséget invertálni, több párhuzamosan kötött li-ion akkumulátor cellát tölteni konstans áramú és konstans feszültségű üzemmódban is, az akkumulátor feszültségénél alacsonyabb és magasabb bemeneti feszültségről egyaránt. Olyan integrált áramkört, ami a fent felsorolt összes feltételnek eleget tesz nem találtam, mivel telemetria adatok gyűjtése miatt amúgy is szükséges az áramkörbe egy mikrokontroller, ezért úgy döntöttem, hogy a feszültségszabályzó áramkör vezérlését is a mikrokontrollerre bízom.

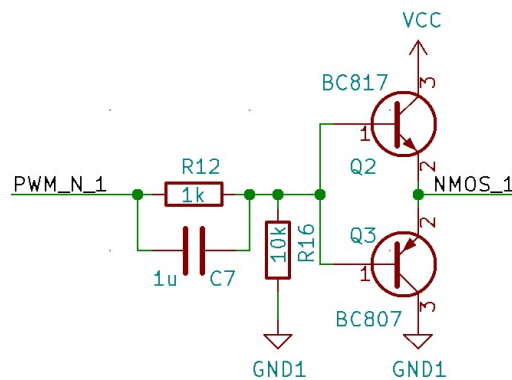


4.2. ábra. A negatív napelemfeszültségből pozitív feszültséget előállító kapcsolás

4.3. Kapcsolási rajz

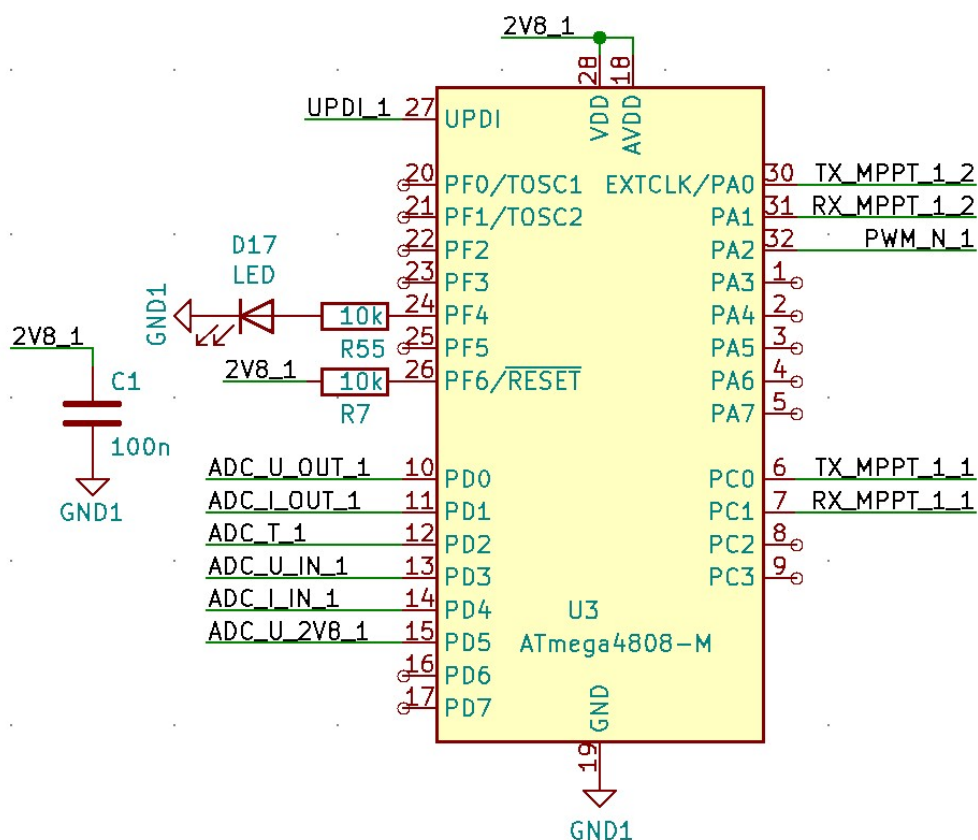
4.3.1. MOSFET vezérlése

A kapcsoló fet vezérlését egy komplementer emitter követő kapcsoláson keresztül valósítom meg, hogy a fet átkapcsolásakor jelentkező akár 60 mA-es rövid áramimpulzusok ne a mikrokontroller kimenetét terheljék.



4.3. ábra. A MOSFET meghajtó áramköre

4.3.2. Mikrokontroller



4.4. ábra. A mikrokontroller

A áramkör megépítéséhez a Microchip Atmega4808 [12] típusú mikrokontrollerét választottam. Ez alkalmas kis fogyasztású akkumulátorról történő működésre, 1,8 V és 5,5 V közötti feszültség tartományban. A 32 lábú QFN tokozás kis mérete ($5 \times 5 \times 0.85$ mm) miatt is előnyös, mivel nem sok hely áll a rendelkezésünkre. Ebben a tokozású verzióban 10 analóg feszültségek digitalizálására használható csatorna áll rendelkezésre, amelyekkel mérni tudom a be- és kimeneti áramokat illetve feszültségeket. Rendelkezik 16 bites időzítővel, ami segítségével PWM jel állítható elő. Továbbá rendelkezik két UART perifériával, ezek segítségével tud majd kommunikálni a fedélzeti számítógépekkel.

4.3.3. Áram és feszültség mérése

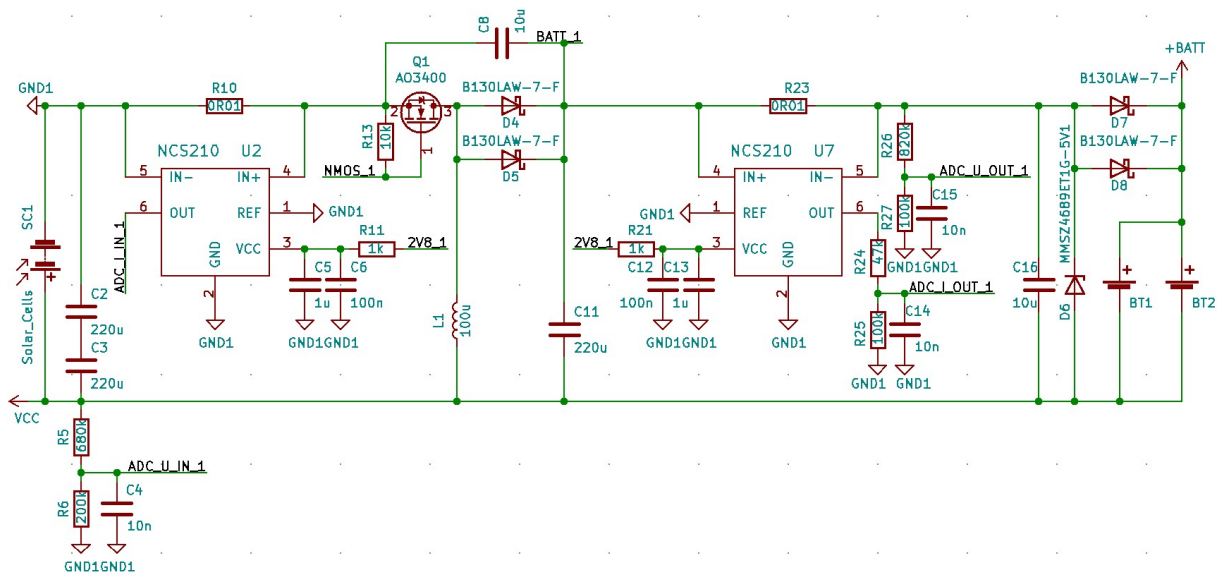
Áram mérésre egyrészt az áramkör bemenetén lévő napelemnél illetve a kimeneti akkumulátor töltő áramnál van szükség. Ezt úgy valósítottam meg, hogy egy ellenállást beiktattam az áram útjába, amin az áram hatására feszültség fog esni. Azért, hogy az ellenálláson ne legyen túl nagy a veszteség, minél kisebbet érdemes választani. Viszont ekkor a feszültségesés is nagyon kicsi lesz amit a mikrokontroller már nem tudna megmérni, ezért egy műveleti erősítőre van szükség, hogy az felerősítse az ellenálláson eső feszültséget. Ehhez egy NCS210 típusú kifejezetten áram mérésre kifejlesztett IC-t választottam, ennek a feszültségerősítése 200, így egy $0,01\ \Omega$ -os ellenállást használva a napelem 505 mA -es maximális árama esetén a feszültségesés $505\text{ mA} \times 0,01\ \Omega = 5,05\text{ mV}$ lesz. Ezt a 200-szorosára erősítve a mikrokontroller analóg lábára $5,05\text{ mV} \times 200 = 1010\text{ mV}$ fog

jutni, ezt a belső 1100 mV-os referenciával dolgozó analóg digitális átalakítóval már meg tudja mérni.

A be- és kimeneti feszültségeket egy-egy feszültségosztón keresztül kötöttem a mikrokontrollerre. Ezek ellenállásait úgy választottam meg, hogy az előforduló maximális feszültségek esetén is a referencia feszültségnél kicsivel kisebb legyen az átalakítóra jutó feszültség:

$$U_{be} = U_{be_{max}} \cdot \frac{R_1}{R_1 + R_2} = 4700 \text{ mV} \cdot \frac{200 \text{ k}\Omega}{200 \text{ k}\Omega + 680 \text{ k}\Omega} = 1068,18 \text{ mV}$$

$$U_{ki} = U_{ki_{max}} \cdot \frac{R_1}{R_1 + R_2} = (4700 \text{ mV} + 4200 \text{ mV}) \cdot \frac{100 \text{ k}\Omega}{100 \text{ k}\Omega + 820 \text{ k}\Omega} = 967,39 \text{ mV}$$



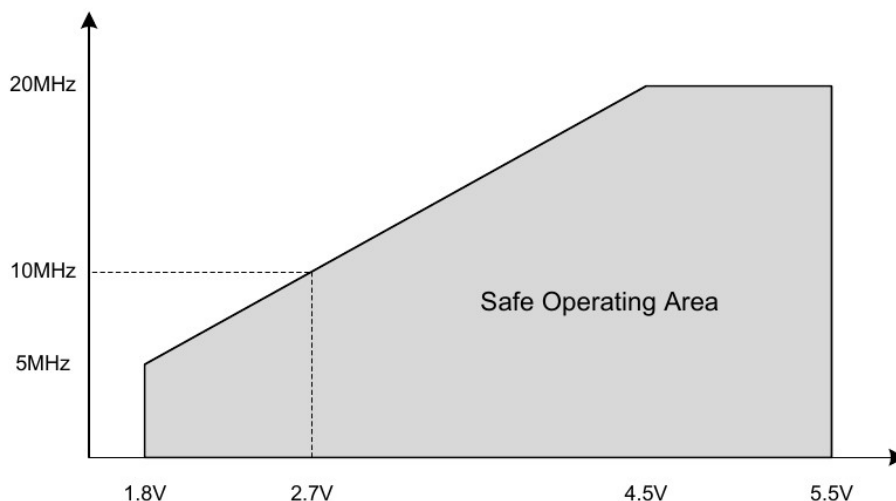
4.5. ábra. A teljes feszültszabályzó áramkör kapcsolási rajza

Az áramkörömnek elsősorban a műhold fedélzetén lévő akkumulátorokat kell töltenie. Azonban előfordulhat az az eset is, hogy az akkumulátorokat a védőelektronikájuk leválasztotta a szabályozatlan energiabuszról. Ebben az esetben a névleges 4,2 V-os feszültséget továbbra is tartani kell, hogy a műhold működőképes maradjon, viszont így az áramot az alrendszeres aktuális fogyasztása fogja meghatározni.

4.3.4. A mikrokontroller tápellátása

A mikrokontroller 1,8 V-tól maximum 5,5 V-ig terjedő feszültségtartományban képes működni, az adatlapjából származó 4.6. ábráról leolvasható, hogy a tápfeszültség függvényében hogyan változik a maximálisan használható órajel frekvenciája.

Maximum Frequency vs. V_{DD} for $[-40, 105]^{\circ}\text{C}$

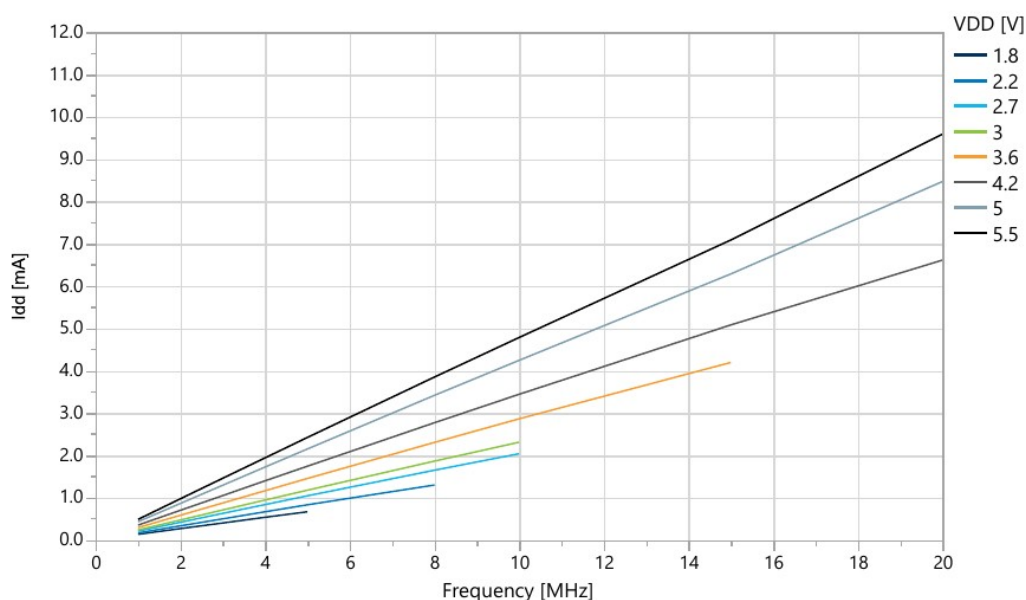


4.6. ábra. A mikrokontroller maximális órajel frekvenciája a feszültség függvényében [12]

Az órajelet 10 MHz-re választva, 8 bites PWM esetén az 39,0625 kHz frekvenciájú lesz, ami megfelelőnek tűnik. 10 MHz-es órajel használatához legalább 2,7 V-ra van szükség. Az akkumulátor maximális feszültsége 4,2 V lehet, amiről a mikrokontroller még tud működni, viszont a 4.7. árba alapján a fogyasztása egy adott frekvencián a tápfeszültség növekedésével együtt nő. Ennek minimalizálása érdekében a tápfeszültségét 2,7 V körül kell tartani.

Supply Currents in Active Mode

Figure 33-1. Active Supply Current vs. Frequency (1-20 MHz) at $T = 25^{\circ}\text{C}$



4.7. ábra. A mikrokontroller áram felvétele a tápfeszültség és frekvencia függvényében [12]

A mikrokontroller két helyről kaphat energiát: a napelem felől vagy a műhold szabályozatlan energiabuszáról.

Mindkét tápforrásnál használok áramkorlátozó ellenállásokat. Erre akkor van szükség, ha az áramköröm meghibásodik és a normál működés közben elvártanál jelentősen nagyobb

Az akkumulátor felőli korlátozó ellenállásokat úgy méreteztem, hogy rövidzár esetén, teljesen feltöltött 4,2 V-os akkumulátor feszültség hatására is csak $4,2 \text{ V} / 100 \Omega = 42 \text{ mA}$ áram fog folyni. Ez jelentős veszteség lenne, de a műhold továbbra is működőképes marad. Az ellenállások további növelésével ez az áram csökkenthető lenne, viszont normál működés közben a rajtuk keletkező veszteség nagyobb lenne.

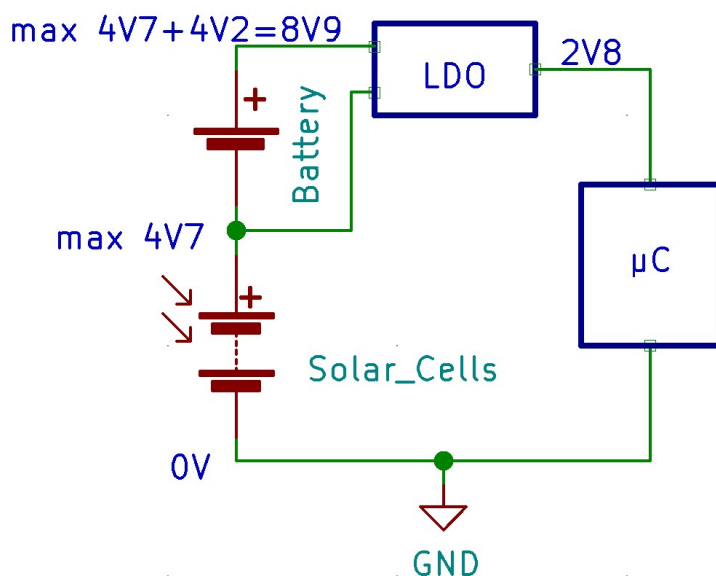
A tápfeszültséget egy NCP512 típusú LDO segítségével állítom elő. Az LDO választásakor fontos szempont volt, hogy minél kisebb a dropout feszültsége, ez ennek a típusnál 10 mA-es terhelés esetén 25 mV körül van. Másik fontos tulajdonsága, hogy már 1 V-os bemeneti feszültségtől a benne található P csatornás MOSFET egybenyit. Ennek köszönhetően már a névleges 2,8 V-os feszültség alatt is működhet a mikrokontroller, ami alacsony napelemfeszültség esetén előnyös lehet.

Ennek az LDO sorozatnak létezik 2,8 V-os fix kimenetű változata, viszont annak, vagy más hasonló paraméterekkel rendelkező helyettesítő IC-nek a beszerzése az áramköröm fejlesztésekor nem volt megoldható belátható időn belül. Ezért az 1,8 V-os verzió használata mellett döntöttem, ennek a kimenetét a GND lábára vissza csatolva oldottam meg a 2,8 V-os feszültség előállítását:

The schematic diagram illustrates the power supply and signal conditioning circuit for the ADC module. It features two DC-DC converters, U1 (TPS76928) and U4 (NCP5125Q18T2G), both configured as buck converters. The input to U1 is VCC, and its output is connected to the input of U4. The output of U4 is connected to the 2V8_1 pin of the ADC module. The circuit includes several resistors (R1, R2, R3, R4, R8, R9, R14, R15, R17, R18) and capacitors (C9, C10) for filtering and decoupling. Diodes D1, D2, and D3 are used for protection and signal conditioning. The ground connections are labeled GND1.

Az feszültségfordító kapcsolásból adódóan az akkumulátor feszültsége az áramkörök földpontjához képest a napelem feszültségével magasabban van. Ez a megvilágítástól függően akár $4,2\text{ V} + 4,7\text{ V} = 8,9\text{ V}$ is lehet. Ez azért okoz problémát mert az NCP512

maximum 6 V-ot visel el a bemenetén. Így az akkumulátorról való működéshez még egy LDO-ra van szükség, ami nagyobb bemeneti feszültségről is tud működni. Erre a célra a megfelelő paraméterekkel rendelkező TPS76928 típusút választottam. A döntést ebben az esetben is jelentősen befolyásolta a beszerezhetőség.



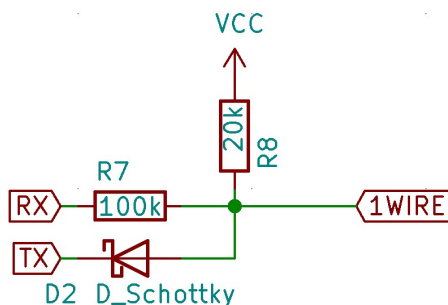
4.9. ábra. A mikrokontroller tápellátásának blokkvázlata

4.3.5. Telemetria adatok gyűjtése

A feszültségszabályzó vezérlése mellett a mikrokontrollernek feladata telemetria adatok gyűjtése is, amelyeket a fedélzeti számítógépnek (OBC) továbbít. A szabályzó működéséhez szükséges mérni a be- és kimeneti feszültségeket és áramokat, így ezek az adatok már rendelkezésre állnak. Ezekből számítható az átalakító hatásfoka is.

Ezek mellett még hasznos telemetria adat a napelemoldalak hőmérséklete, ezért minden oldalpanel belső felén el lesz helyezve egy hőmérséklet érzékelő szenzor.

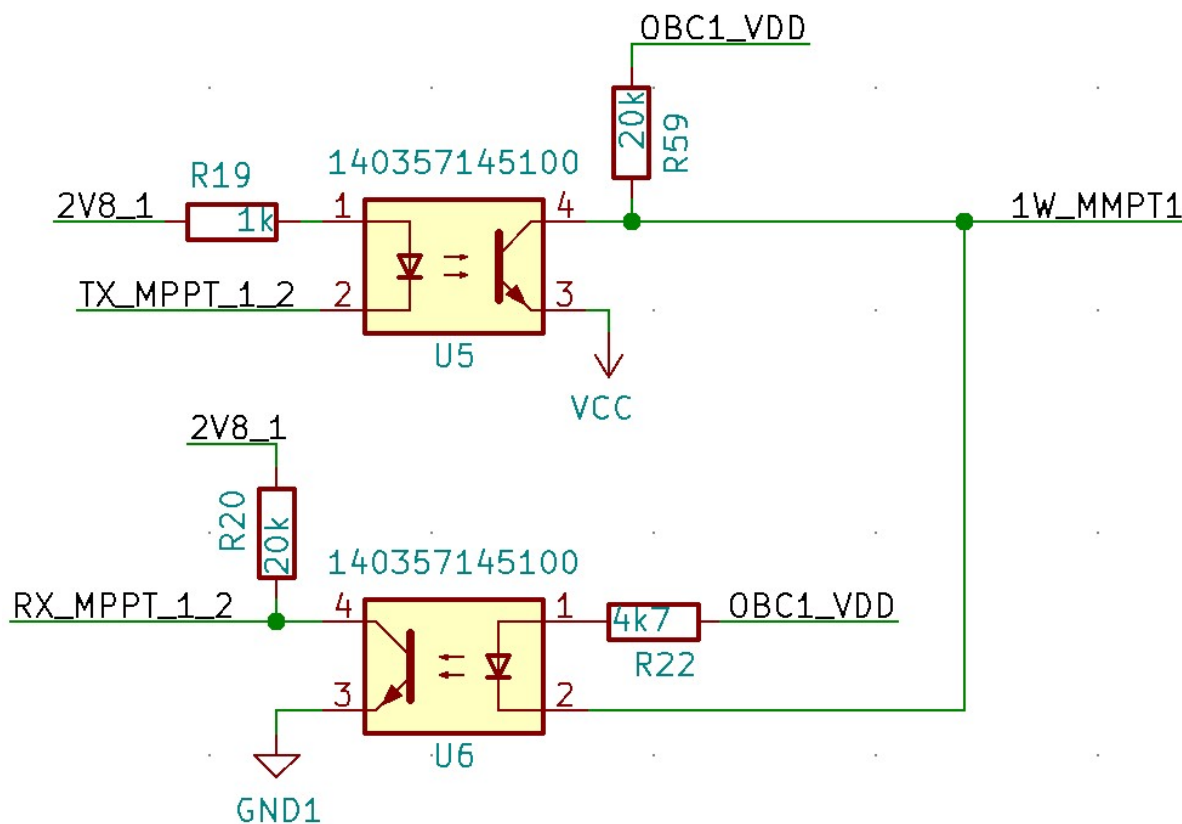
A fedélzeti számítógéppel az alrendszerek fél-duplex UART segítségével kommunikálnak, ezzel megoldható a kétirányú kommunikáció egy vezetéken.



4.10. ábra. A fél-duplex UART-ot megvalósító áramkör

Mivel az én áramköröm és a műhold többi alrendszere különböző feszültség szinten van, a köztük lévő kommunikáció nem oldható meg egyszerűen egy vezetékes kapcsolattal. Erre megoldásként optocsatolók használata mellett döntöttem. A négy áramköröm egy közös

buszon fog kommunikálni az OBC-vel, ami az egyik oldalhoz tartozó áramkört megcímezve küld egy kérést, amire az adott mikrokontroller válaszként elküldi a telemetria adatokat.



4.11. ábra. Az OBC-vel való összeköttetést megvalósító optocsatlók

4.4. Prototípus nyomtatott áramkör

4.4.1. Panelek

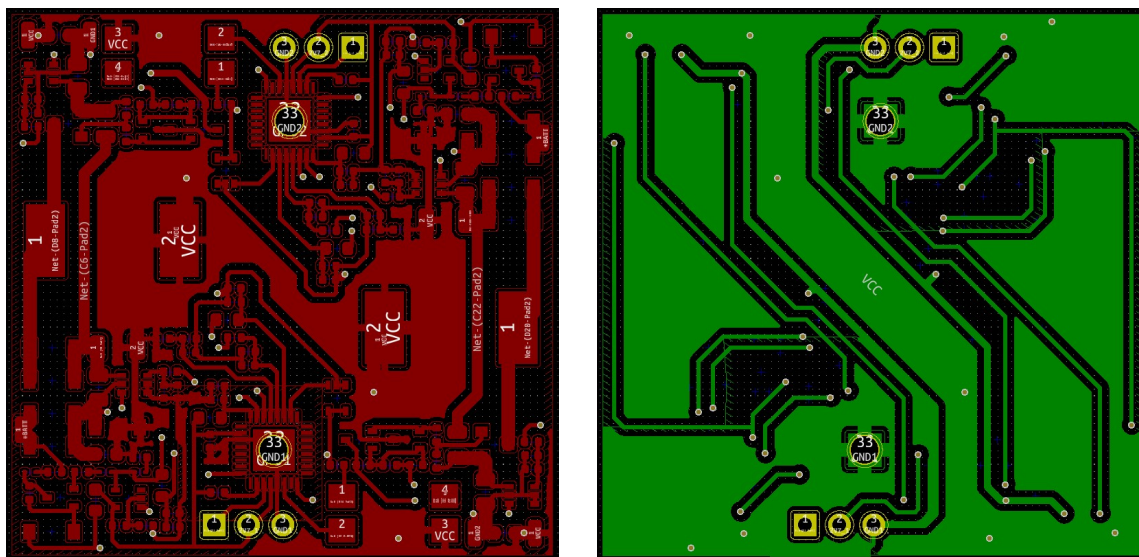
A műhold belsejében található paneleken elhelyezkedő áramkörök számára használható felület nagyjából 40×40 mm-es lesz, ekkora méretű paneleken kell elférnie minden alrendszernek. Mivel a műhold négy oldalán lesz napelem, a feszültségszabályzó áramkörömből is négy darabra lesz szükség. Az előzőekhez képest nagyobb méretű műholdban több panelnek van hely, viszont a fedélzetre kerülő kísérletek száma miatt célszerű spórolni a panelek számával ahol lehetséges, ezért a négy áramkört maximum két panelen szeretném elhelyezni.

4.4.2. A nyomtatott áramkör tervezése és elkészítése

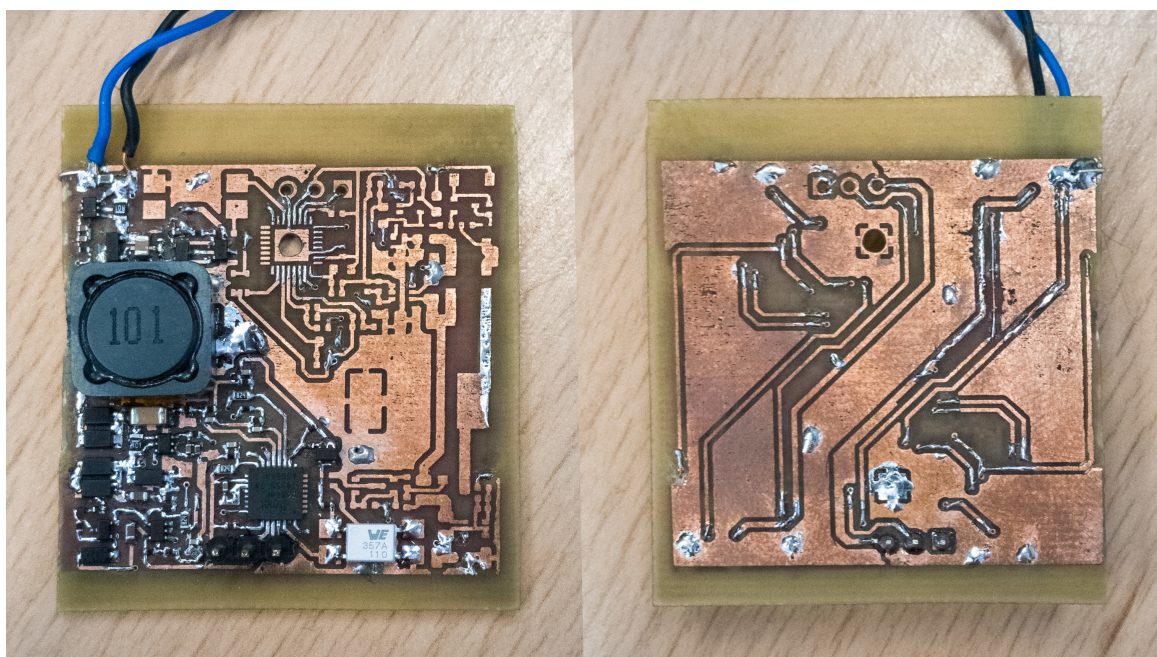
A tervezés során minden áramkört és kapcsolási rajzot a nyílt forráskódú KiCAD tervezőprogramban készítettem. [10]

A prototípus áramkör tervezésekor megpróbáltam azt a véglegeshez minél jobban közelítő méretűre elkészíteni. A gyártatott nyákon négy vezető rétegen tudok majd dolgozni, a

házilag készített prototípusnál csak kettőn, viszont ennek ellenére is sikerült az áramkört két példányban 40 × 40 mm-es hordozó felületen elhelyezni.



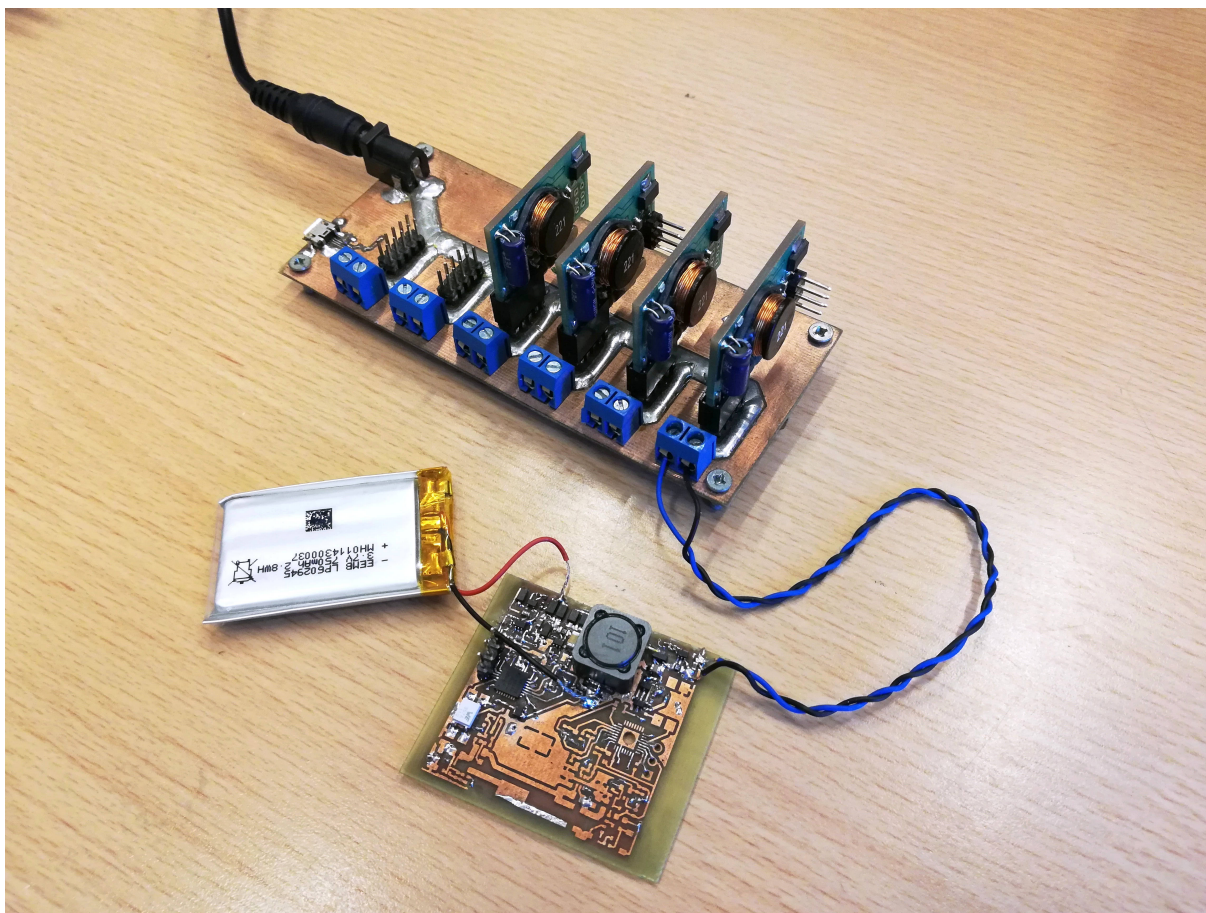
4.12. ábra. A nyomtatott áramkör tervének két oldala



4.13. ábra. Az elkészült áramkör két oldala

Az áramkör felélesztése során először a panelen lévő két feszültség szabályzó áramkörből csak az egyiket ültettem be, a működőképességének teszteléséhez ez is elég. A több áramkör együttes működését a későbbiekben fogom majd vizsgálni.

4.5. Az áramkör mérése



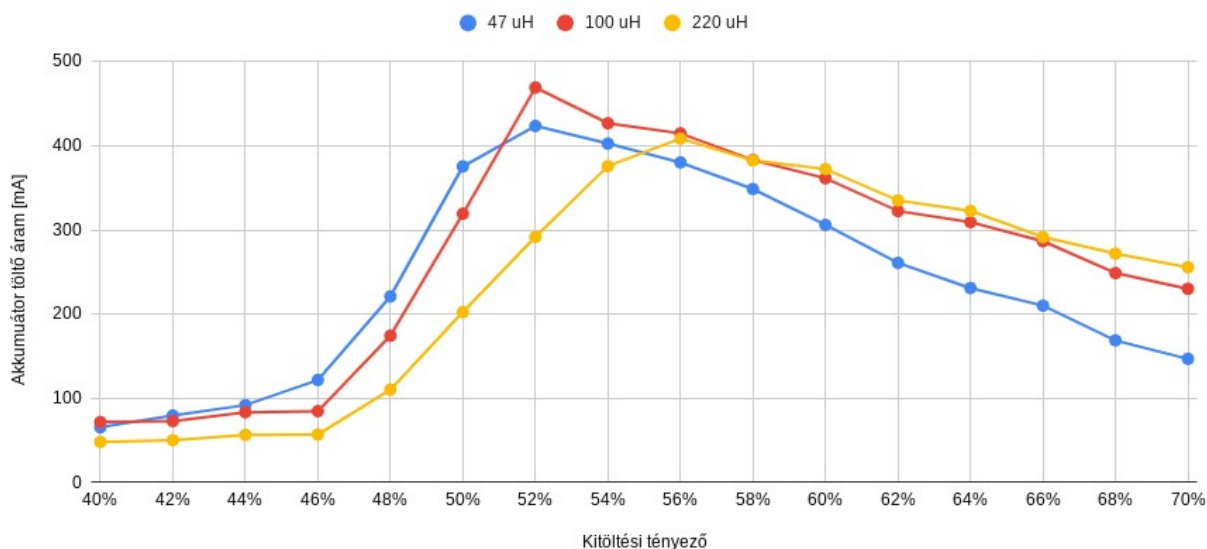
4.14. ábra. Műhold akkumulátor töltése napelem emulátorról

A következő mérések elvégzéséhez egy, a műholdjainkban is használt típusú akkumulátor paramétereivel megegyező akkumulátor cellát kötöttem az áramkör kimenetére. A napelem emulátort két sorba kötött napelemcellának megfelelő paraméterekre állítottam be, a feszültségét 4700 mV-ra, maximális áramát pedig 505 mA-re.

4.5.1. Induktivitás és PWM frekvencia

Először különböző értékű tekercsekkel vizsgáltam az áramkör működését, a PWM ki-töltési tényezőjét 50% körül változtatva mértem az akkumulátor töltő áramát.

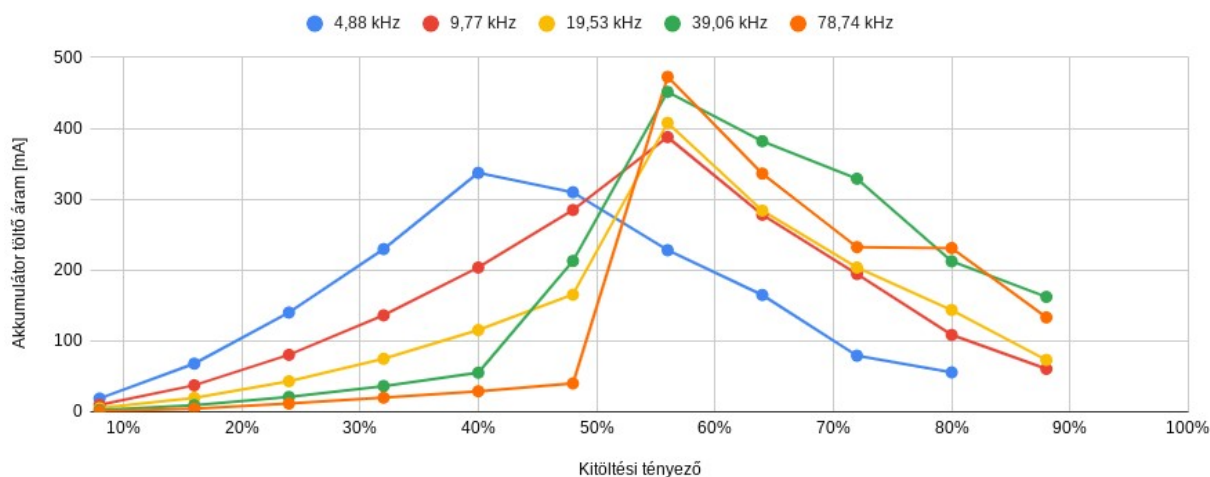
A méréseket egy HP 34401A típusú multiméterrel végeztem.



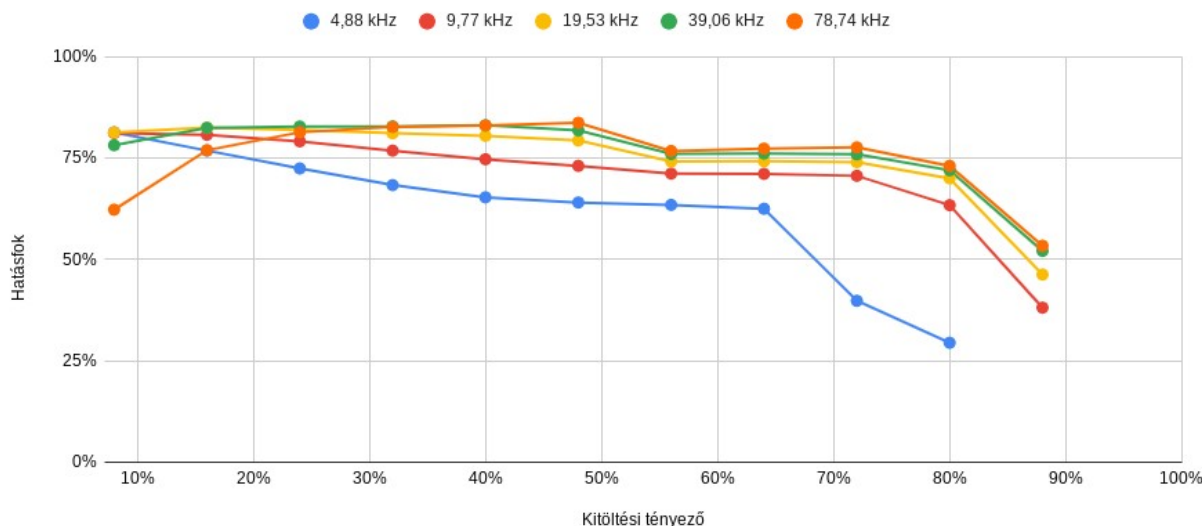
4.15. ábra. Maximális akkumulátor töltő áram különböző tekercsekkel

A mérések alapján a $100 \mu\text{H}$ induktivitású tekercs használatakor volt a töltőáram maximuma a legnagyobb, ezért ezt választottam.

A tekercs kiválasztása után a PWM frekvenciájának a töltőáram maximumára gyakorolt hatását vizsgáltam. Az alábbi ábrákon látható az akkumulátor árama, illetve az áramkör hatásfoka különböző frekvenciákon.

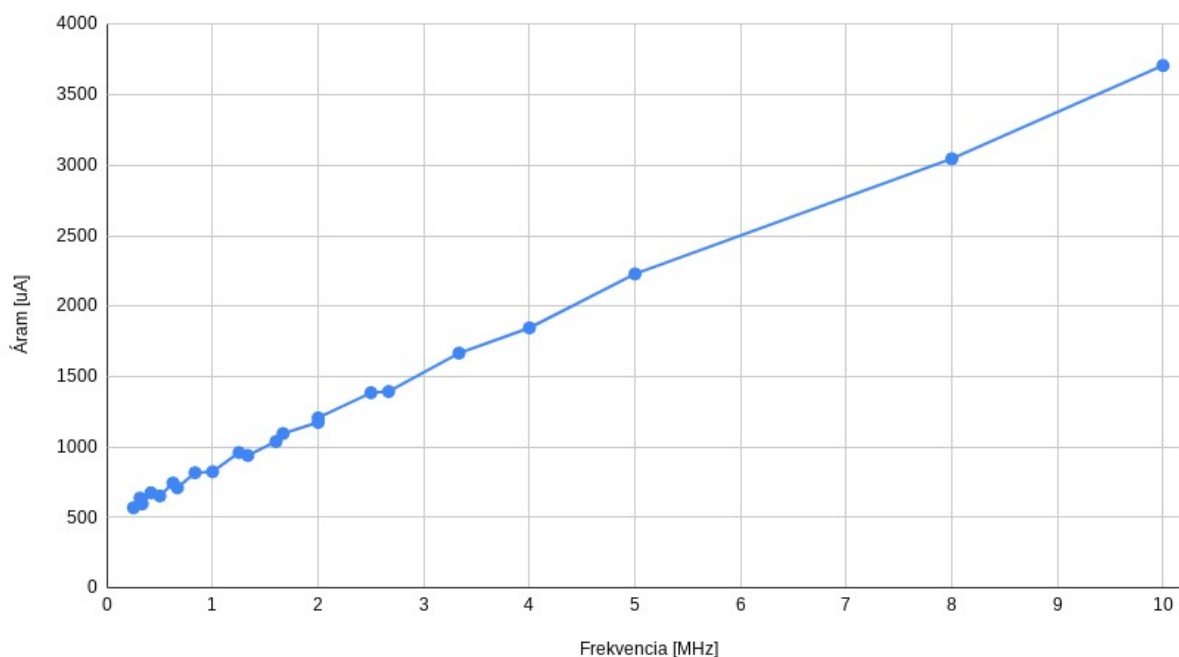


4.16. ábra. Az akkumulátor töltő árama különböző PWM frekvenciákon



4.17. ábra. Az áramkör hatásfoka különböző PWM frekvenciákon

A mérési eredményekből látható, hogy a töltőáram maximuma a frekvencia növelésével együtt nő. Nagyobb PWM frekvencia előállításához a mikrokontrollernek is nagyobb órajel frekvenciára van szüksége ami az áramfelvételt is megnövelné, erről látható egy mérési eredmény a 4.14. ábrán. Mivel a 78,74 kHz és a 39,06 kHz-es frekvencia között nincs túl nagy különbség, így a legnagyobb használható PWM frekvenciának a 39,06 kHz-et választottam.



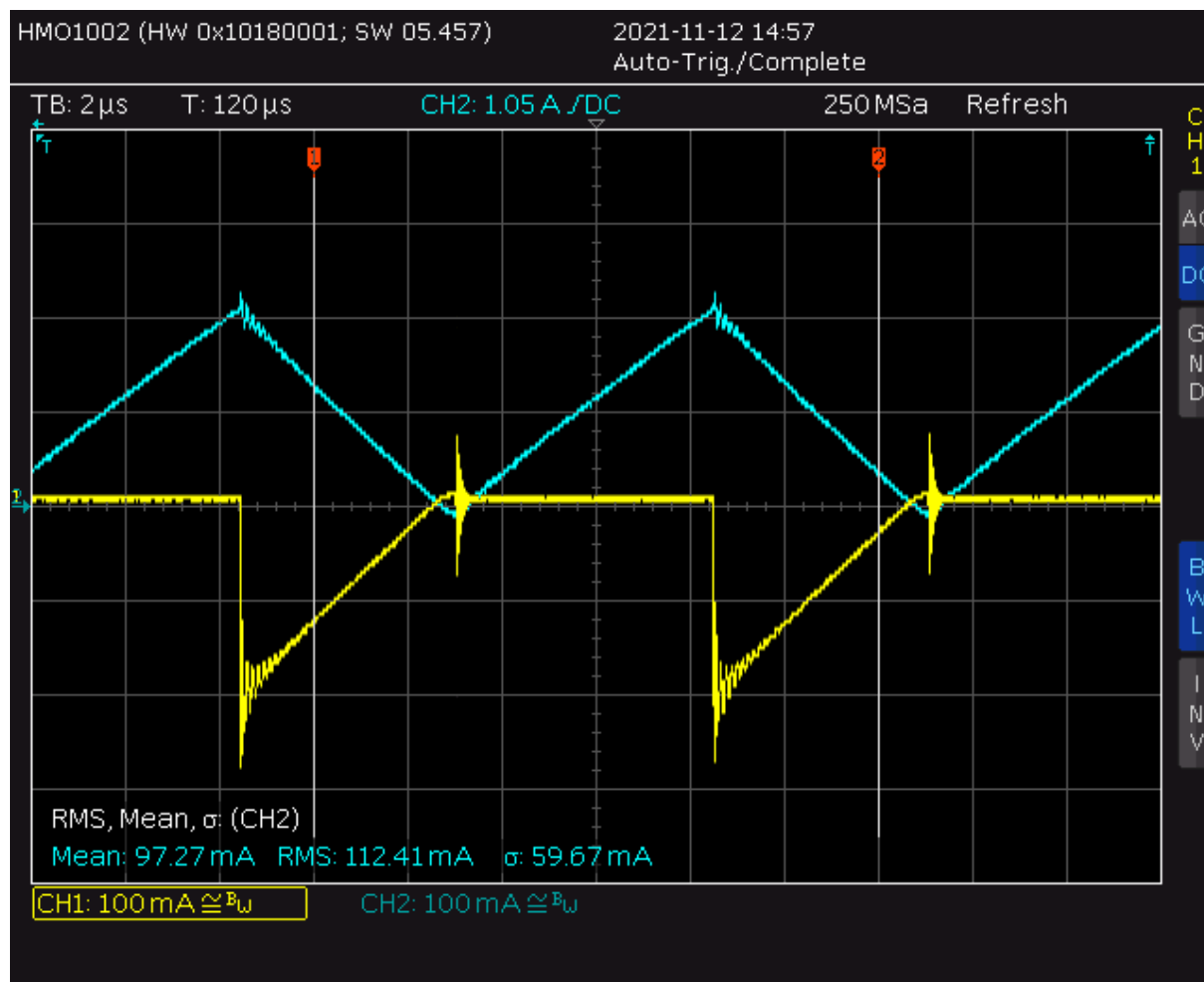
4.18. ábra. A mikrokontroller fogyasztása az órajel frekvenciája függvényében

Az általam mért értékek a 4.7. ábrán látható, a mikrokontroller adatlapjából származó értékeknél valamivel magasabbak, ezt a mikrokontrollerben bekapcsolt perifériák (ADC, időzítő) többlet fogyasztása okozza.

4.5.2. Tekercs és dióda árama

A fejlesztés során felmerült az ötlet, hogy az áramkörben a diódát egy MOSFET-tel helyettesítve az áramkör hatásfoka javítható lenne, hiszen a dióda vesztesége jelentősen korlátozza azt.

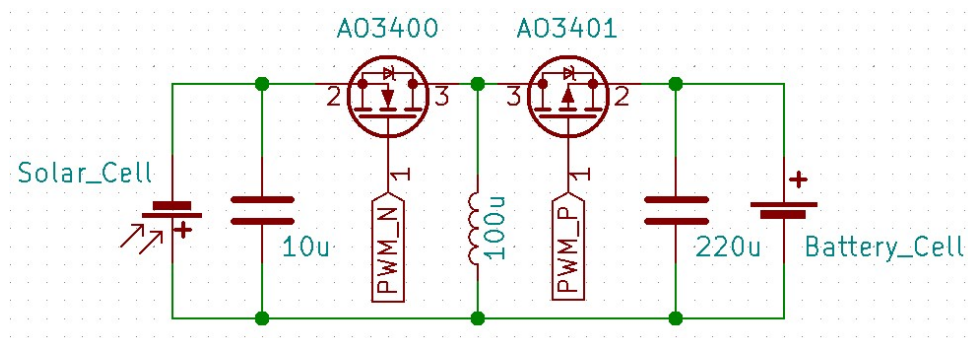
Az alábbi ábrán látható mérés során a tekercsen folyó áramot vizsgáltam. Az oszcilloszkóp egyes (sárga) csatornáján a tekercs, a kettes (kék) csatornáján pedig a dióda árama látható.



4.19. ábra. A tekercs és a dióda árama

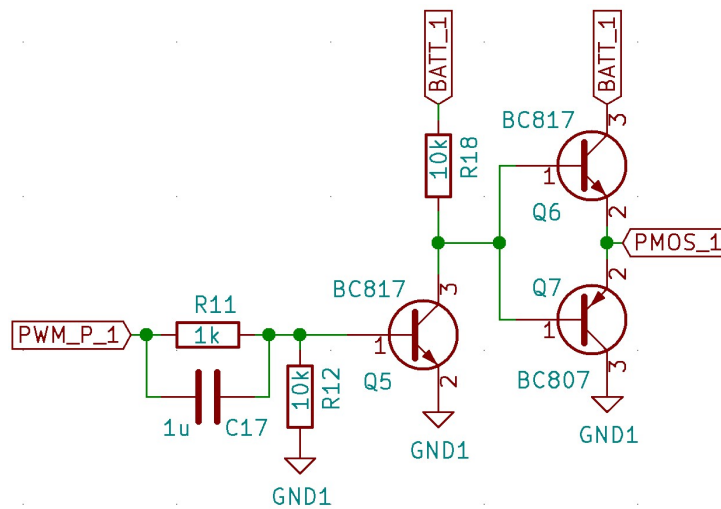
A két MOSFET-es megoldás megvalósításához nagyon precíz vezérlésre lenne szükség, ahogy az a 4.19. ábrán is látható, amint a dióda árama eléri a nullát az megszűnik vezetni. Ha ez nem így történne, akkor az áram elkezdene rajta az ellenkező irányba folyni, ami az áramkör működése szempontjából nagyon hátrányos lenne.

Nagy kimeneti áram esetén a tekercs árama folytonos marad, a nullát nem éri el. Ebben az állapotban a diódát helyettesítő MOSFET vezérlése is egyszerűbb. A dióda helyettesítésére egy P csatornás MOSFET-et választottam. Ennek a source lába a 4.20. ábrán látható módon az áramkör kimenetén van.



4.20. ábra. A feszültségfordító kapcsolás két MOSFET-tel

Ahhoz, hogy a mikrokontroller tudja vezérelni ezt a tranzisztort, az alábbi ábrán látható kapcsolásra van szükség:



4.21. ábra. A P csatornás MOSFET meghajtó áramköre

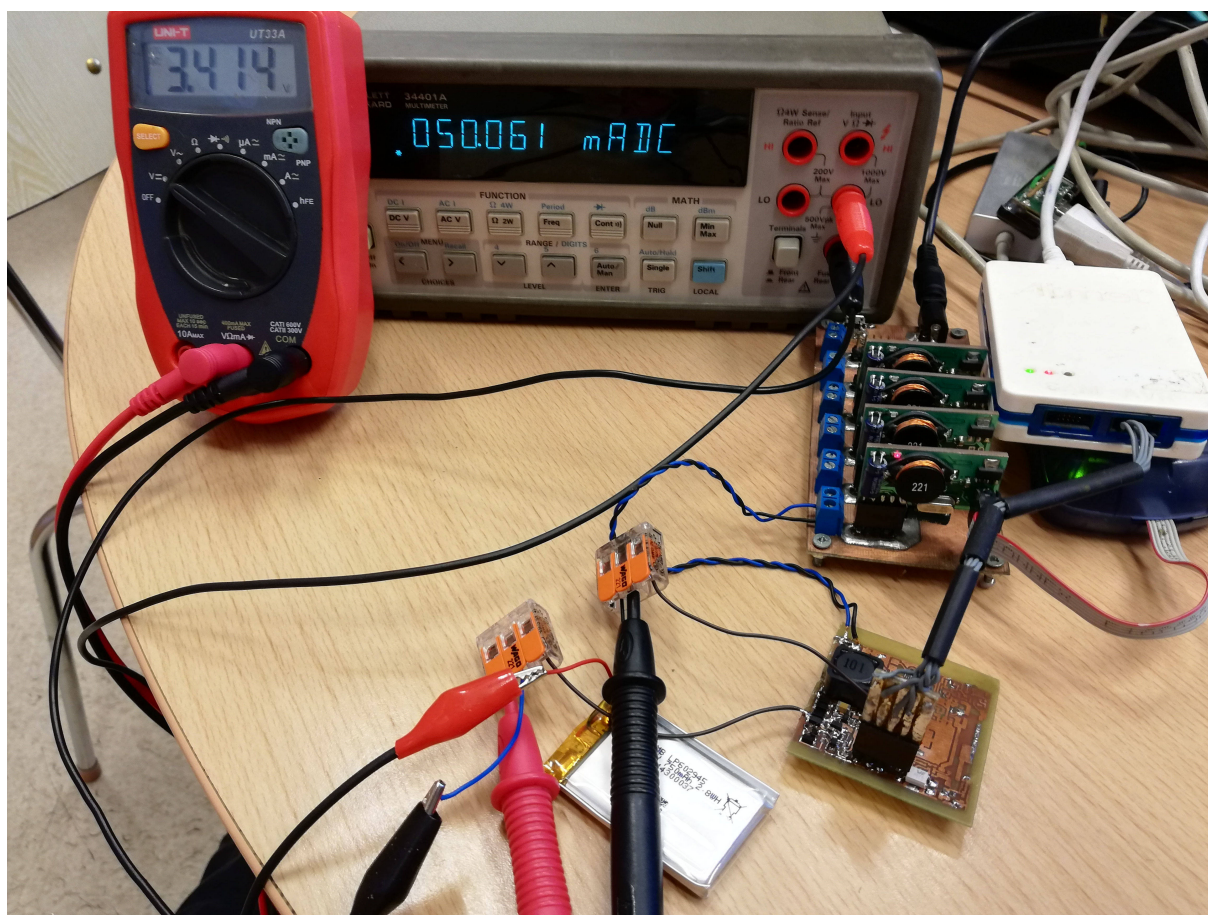
Mivel ez a kapcsolás a vezérlő PWM jelet invertálja, a megfelelő vezérléshez olyan PWM jelre van szükség, aminek akkor van felfutó éle amikor az N csatornás tranzisztort vezérlő jelnek lefutó éle van. Ezeket a jeleket a mikrokontroller egyik időzítőjével és a hozzá tartozó PWM periféria segítségével állítom elő. Ez önmagában nem képes a megfelelő jel előállítására, viszont a mikrokontroller kimeneti regisztere tudja invertálni a P csatornás MOSFET-hez tartozó PWM jelet, így a megfelelő jelalakot elő lehet állítani.

Egy ilyen áramkör elkészítése után különböző áramok mellett mértem a hatásfokot, egyszer a MOSFET-et vezérelve, majd azt nem vezérelve csak a diódát használva. A legnagyobb elérhető áram mellett közel 5%-os hatásfok javulást sikerült elérni, viszont kisebb áram érték esetén nagyobb volt a P csatornás MOSFET-et vezérlő áramkör vesztesége, mint amennyit a dióda helyettesítésével meg lehet spórolni. Mivel ez a megoldás nem hozott egyértelműen javulást, viszont a plusz áramköri részek még tovább bonyolították az teljes áramkört, inkább a diódás megoldás használata mellett döntöttem.

4.6. Akkumulátor töltés

A műhold alrendszerei a napelemekből beérkező energia egy részét rögtön felhasználják, a többit egy lítium-ion akkumulátorban tárolja a rendszer, hogy akkor is tudjon majd működni, amikor földárnyékban nincs napfény. Az akkumulátor töltése az MPPT áramkör feladata. Ezt úgy kell megvalósítani, hogy amíg az akkumulátor nem éri el a maximális 4,2 V-os feszültségét, addig áramgenerátorként, amennyiben ezt a bejövő energia mennyisége lehetővé teszi maximális árammal kell tölteni. Ha elérte a maximálisan megengedett feszültséget, akkor már korlátozni kell a töltőáramkör feszültségét. A műhold négy napelemoldaláról érkező energiát kis veszteségű schottky diódák segítségével lehet összegezni. Ezekre a visszáram elleni védelem miatt van szükség.

Ebben a mérésben az áramkör hatásfokát vizsgáltam, ehhez a napelem emulátor kimeneti feszültségét 3,5 V-ra, az áramkorlátot 80 mA-re állítottam. A 4.22. ábrán látható multiméterekről az akkumulátor feszültsége és töltőárama olvasható le.



4.22. ábra. Az akkumulátor töltéshez használt mérési elrendezés

A 4.23. és a 4.24. ábrákon a mikrokontroller által mért áram és feszültség értékek láthatóak, az áramok mA-ben a feszültségek mV-ban.

Name	Value
adc_2V7	2650
adc_U	3209
adc_U_IN	2793
adc_I_IN	75
adc_U_OUT	6315
adc_I_OUT	51

4.23. ábra. A mikrokontroller által mért áram és feszültség értékek

A mikrokontroller minden feszültséget a saját földjéhez képest mér, ezért az általa mért kimeneti feszültség az a napelem és az akkumulátor felszültségének az összege lesz. Ebből és a bemeneti napelemfeszültségből kiszámítható az akkumulátor feszültsége, ez jelen esetben $6315 \text{ mV} - 2793 \text{ mV} = 3522 \text{ mV}$ -ra adódik. Az ábrán látható „adc_U” és „adc_2V7” értékek a saját tápfeszültsége a 2,8 V-os feszültségstabilizátor előtt illetve után.

A mért értékek alapján kiszámítható az áramkör hatásfoka:

$$(U_{out} \cdot I_{out}) / (U_{in} \cdot I_{in}) = (3522 \text{ mV} \cdot 51 \text{ mA}) / (2793 \text{ mV} \cdot 75 \text{ mA}) = 85,75\%$$

Ugyanezt a mérést megismételtam 1,5 V-os napelem feszültség esetén is, az alábbi eredményeket kaptam:

Name	Value
adc_2V7	2644
adc_U	2742
adc_U_IN	1474
adc_I_IN	39
adc_U_OUT	4743
adc_I_OUT	12

4.24. ábra. A mikrokontroller által mért áram és feszültség értékek

A mért értékek alapján az áramkör hatásfoka:

$$(U_{out} \cdot I_{out}) / (U_{in} \cdot I_{in}) = (3269 \text{ mV} \cdot 12 \text{ mA}) / (1474 \text{ mV} \cdot 39 \text{ mA}) = 68,24\%$$

A mérések alapján elmondható, hogy magasabb napelemfeszültségek esetén a hatásfok is magasabb lesz, viszont amikor az akkumulátor feszültségénél alacsonyabb napelemfeszültségről kell a töltést megvalósítani, a hatásfok el kezd csökkenni.

5. fejezet

Maximális teljesítményű munkapont követés

A napelemekből kivehető teljesítményt befolyásolja, hogy a cellák mekkora terheléssel vannak lezárva, a megvilágítás szögétől és a hőmérséklettől. Ahhoz, hogy a maximális kivehető teljesítményhez hozzájussunk, a napelemeket a maximális teljesítményű munkapontjukban kell működtetni. Ez a munkapont a fent felsorolt paraméterek függvényében változik. A napelemekből kivehető teljesítmény maximalizálásához ezt a változó munkapontot követni kell. Erre ad megoldást a maximális munkapont követő algoritmus (MPPT).

5.1. MPPT algoritmusok

5.1.1. Empirikus alapon működő stratégiák

Amennyiben lassan változnak a környezeti paraméterek, lehet alkalmazni olyan MPPT eljárásokat, melyek arra épülnek, hogy az maximális munkaponti feszültség lineáris összefüggésben van az üresjárási feszültséggel, illetve a maximális munkaponti áram a rövidzárási árammal. Ezt a két mérhető értéket egy-egy meghatározott konstans értékkel szorozva megkapható a keresett munkaponthoz tartozó áram és feszültség értéke. Az algoritmus adott időközönként megvizsgálja ezeket a paramétereket, majd egy a megfelelő munkapontba állítja a napelem terhelését. Ennek az eljárásnak előnye, hogy megvalósítása nagyon egyszerű, még digitális jelfeldolgozás sem szükséges hozzá. Viszont egyszerűsége mellett több problémája is van. Egyrészt az üresjárási feszültség megméréséhez a napelemet le kell választani a műhold tápellátó rendszeréről, így a mérés ideje alatt nem történik teljesítmény felvétel a napelemből. Másik probléma, hogy ha a mintavétel csak ritkán történik a napelem kihasználatlanságának minimalizálása érdekében, akkor a műhold forgásából adódóan folyamatosan változó megvilágítást az algoritmus nem fogja tudni helyesen követni. [11]

5.1.2. Hegymászó stratégiák

Perturb & Observe

Az úgynevezett hegymászó stratégiák az egyik legelterjedtebben használt maximális munkapont követő algoritmusok. A működésének a lényege, hogy az algoritmus beállít

egy munkapontot, majd a terhelést változtatva vizsgálja, hogy a felvett teljesítmény hogyan változik. A változás előjele határozza meg, hogy a következő lépésben a terhelés változtatása milyen irányba történjen. Ezt a folyamatot addig végzi az algoritmus, amíg meg nem találja a teljesítmény első lokális maximumát. Ezután az megtalált munkapont körül oszcillál.

Ennek az algoritmusnak sem túl bonyolult a megvalósítása, a kapcsolóüzemű tápegységet vezérlő PWM jel kitöltési tényezőjét kell perturbálni. A napelem árama és feszültsége egy analóg digitális átalakító segítségével mérhető, így a kivett teljesítmény is kiszámolható. Ennek az algoritmusnak is vannak hátrányai.

Egyik legnagyobb probléma vele, hogy az első lokális maximumnál megáll és ott is marad, amennyiben a munkapont körüli oszcilláció során nem talál egy másik, az előzőnél nagyobb teljesítményű munkapontot. Erre megoldást adhat, hogy időnként a kitöltési tényezőt nagyobb mértékben változtatjuk, annak reményében, hogy a már megtalált lokális maximumból kimozdulva megtaláljuk az abszolút maximumot. Ez történhet akár tetszőleges munkapont áthelyezéssel, vagy a kitöltési tényező közel teljes tartományán történő végig pásztázással is. [11]

Incremental conductance

Az incremental conductance algoritmus azt használja ki, hogy a teljesítménygörbe meredeksége a maximális teljesítményű munkapontban zérus. Két egymást követő minta alapján így egyszerűen eldönthető, hogy a kitöltési tényező változtatása milyen irányba történjen.

Mindkét hegymászó algoritmus esetében a maximális munkapontba történő beállítás ideje az ugrások mértékétől függ. Nagyobb lépések használatával a keresett munkapont hamarabb megtalálható, viszont így az arra való beállítás pontossága csökken. Kisebb lépések használata esetén pontosabb lesz a beállítás, viszont az hosszabb ideig fog tartani. Problémát okoz még az is, hogy ha a megvilágítás folyamatosan változik, akkor maximális munkapont is jelentősen arrébb kerülhet és ennek következtében könnyű elveszíteni a maximális munkapont helyét. Továbbá a munkapont körüli oszcilláció csökkenti a kivehető teljesítményt, mivel nem pontosan a maximális munkapontban működik a napelem. Erre a kompromisszumra viszont szükség van annak érdekében, hogy a környezeti változások hatását követni tudja az algoritmus. [11]

Egyéb stratégiák

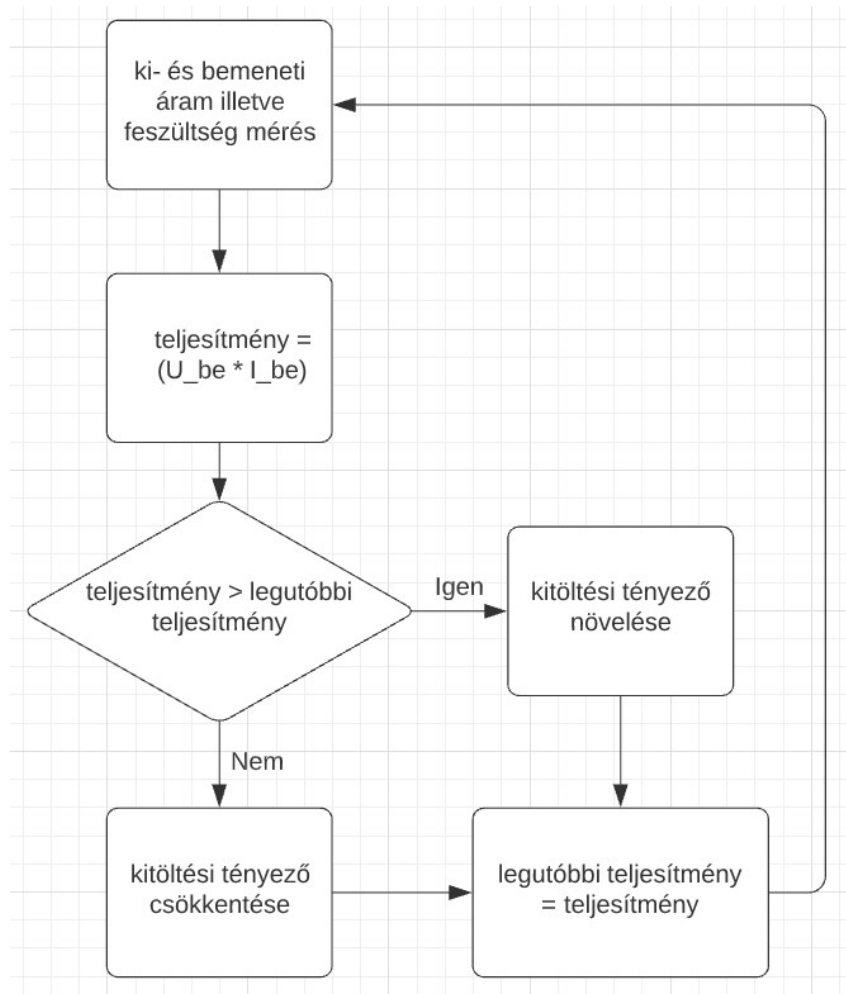
Az irodalomban lehet találni még sok további stratégiát is, például létezik többek között az elmosódott halmazok logikája (fuzzy logic), illetve az árampásztázásra vagy neurális hálózatokra építő megoldások.

A fent ismertetett megoldások közül én a minorkontrollerrel egyszerű megvalósíthatósága miatt a perturb & observe hegymászó stratégia megvalósítása mellett döntöttem.

5.2. MPPT algoritmus megvalósítása

Az MPPT algoritmus a be- és kimeneti feszültségek illetve áramok mérésével kezdődik, majd ezekből kiszámítható a napelemből kivett teljesítmény. Ezután megvizsgálom, hogy

a teljesítmény az előző méréshez képest hogyan változott és ennek függvényében választom meg a kitöltési tényező változtatásának az irányát. A megvalósítandó algoritmusról készítettem egy folyamatábrát, ez látható az 5.1. ábrán.



5.1. ábra. Az MPPT algoritmus folyamatábrája

Az algoritmus megtervezése után implementáltam azt c nyelven:

```

1000 void MPPT()
1001 {
1002     MeasureAdc(); // ki- es bemeneti áram illetve feszultseg meres
1003
1004     inputPower = ((double)inputVoltage * inputCurrent); // napelem
1005     teljesitmeny
1006     efficiency = ((double)outputVoltage * outputCurrent) / inputPower; //
1007     hatasfok
1008
1009     if (inputPower > lastInputPower)
1010     {
1011         dutyCycle += increment;
1012     }
1013     else if (inputPower < lastInputPower)
1014     {
1015         increment *= -1; // kovetkezo lepes iranya
1016         dutyCycle += increment; // kitoltesi tenyezO valtoztatasa
1017     }
1018 }
  
```

```

1016 TCA0_SINGLE_CMP2BUF = dutyCycle; // PWM kitöltési tényező beállítása
1018 lastInputPower = inputPower;
}

```

mpptfunction.c

Ahogy azt az algoritmusok összefoglalása során is írtam, ennek a megoldásnak hátránya, hogy az, ha talál egy lokális maximumot akkor ott megáll és nem feltétlenül jut el a maximális munkapontba. Ennek elkerülésére készítettem el az alább látható függvényt:

```

1000 uint16_t MPPT_Sweep()
1001 {
1002     uint16_t bestDutyCycle = 0;
1003     uint32_t bestInputPower = 0;
1004     uint32_t inputPower = 0;
1005
1006     for (uint16_t i = top25; i < top80; i++) // 25% - 85%
1007     {
1008         TCA0_SINGLE_CMP2BUF = i; // kitöltési tényező beállítása
1009
1010         MeasureAdc(); // ki- es bemeneti áram illetve feszültség mérése
1011         inputPower = inputVoltage * inputCurrent; // napelem teljesítmény
1012
1013         if (inputPower > bestInputPower)
1014         {
1015             bestInputPower = inputPower;
1016             bestDutyCycle = i;
1017         }
1018     }
1019
1020     return bestDutyCycle;
1021 }

```

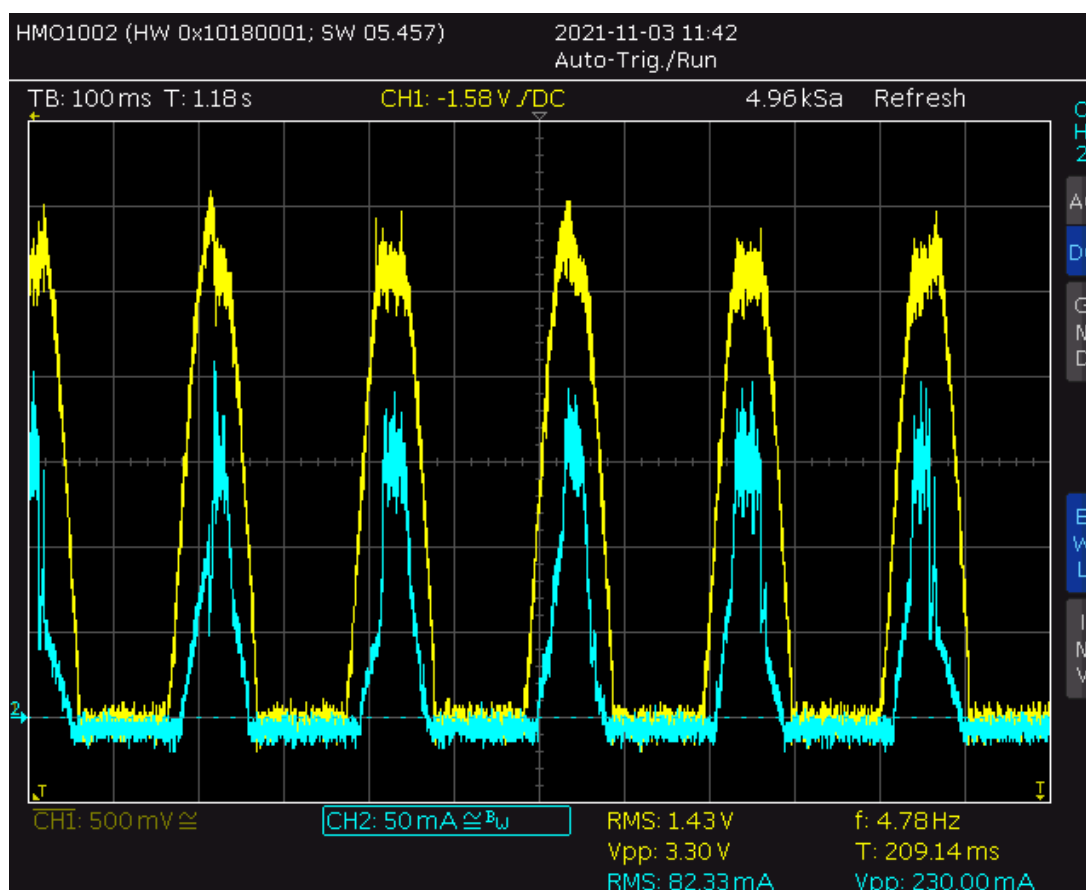
mpptsweepfunction.c

Ez a függvény a kitöltési tényezőt a teljes tartomány 25%-a és 85%-a között változtatva, minden lépésnél megméri a napelem teljesítményét és megkeresi a kitöltési tényezőnek azt az értékét, ahol maximális a teljesítmény.

5.2.1. A műhold forgása

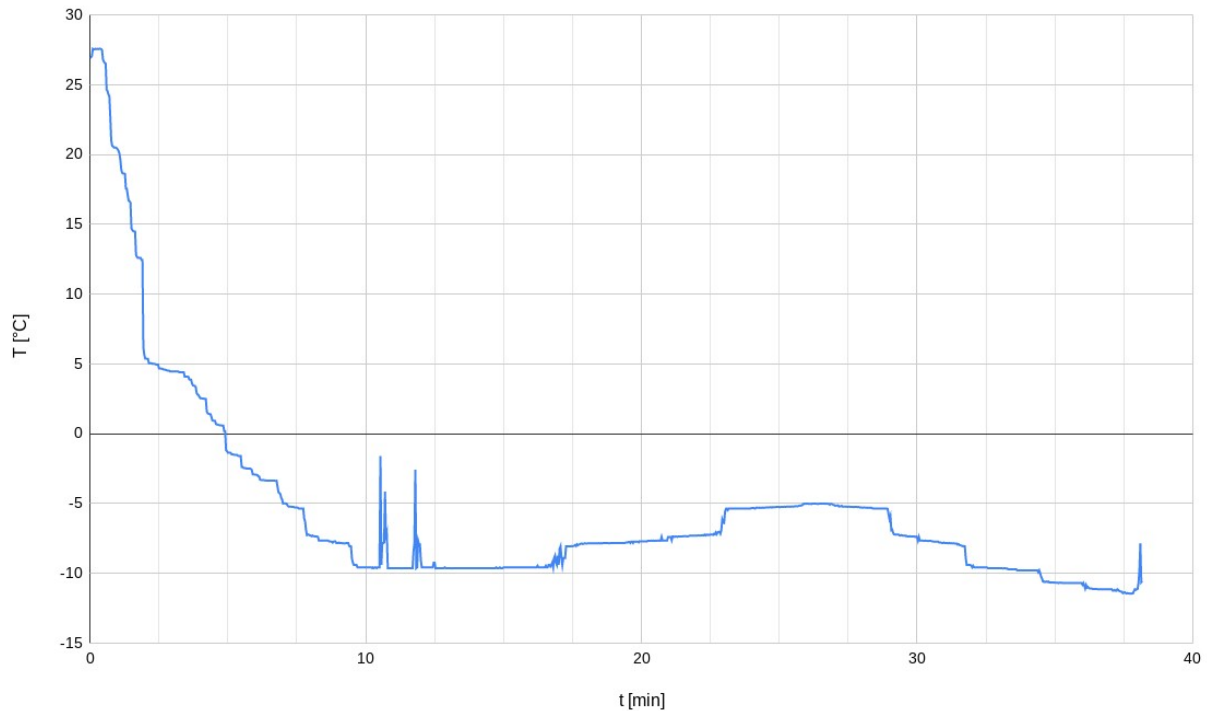
A műhold pályára állításakor, miközben elhagyja a rakéta legfelső fokozatán lévő kido-bórszerkezetet, a rá ható nem egyenletes erők miatt valamilyen véletlenszerű forgó mozgást kezd el végezni. Ha gyorsan forog a műhold az nem szerencsés, mivel a nem izotróp antenna karakterisztikája miatt ez a forgás fading jelenséget okoz. A napelemek megvilágításának a változási sebességét is a forgás határozza meg, az eddigi műholdjaink közül a SMOG-P-nél mértük a legnagyobb kezdeti forgási sebességet, ez körülbelül 3 Hz volt.

Az MPPT algoritmusnak kellően gyorsnak kell lennie ahhoz, hogy a gyorsan változó megvilágításból adódó maximális munkapont változását követni tudja. Az általam írt algoritmus teszteléséhez az emulátort 5 Hz-el forgó műhold emulálására állítottam be, majd oszcilloszkóppal mértem az akkumulátor töltő áramát. Az 5.2. ábrán látható eredmény alapján az algoritmus tudta követni a maximális munkapontot a gyors forgás ellenére is.



A hőmérő tesztelésére végeztem egy kísérletet, az áramkört egy hűtőszekrény fagyasztójába téve, kettő másodpercenként mértem. Az adatokat az optocsatolóval megvalósított egy vezetékes UART-on küldte a mikrokontroller, ahogyan majd az OBC-nek is fogja. A tesztelés során egy FT232-es típusú UART sorosporti átalakító IC használatával az adatokat egy számítógépre juttattam el, ahol egy szöveges fájlba mentettem őket.

A mért hőmérséklet az idő függvényében az 5.3. ábrán látható.

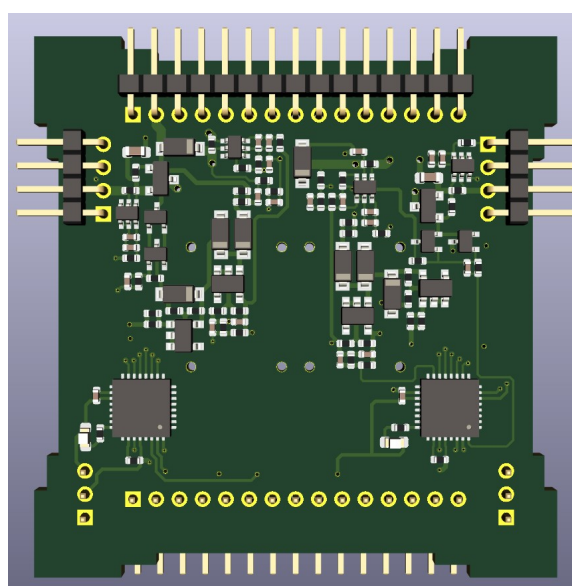
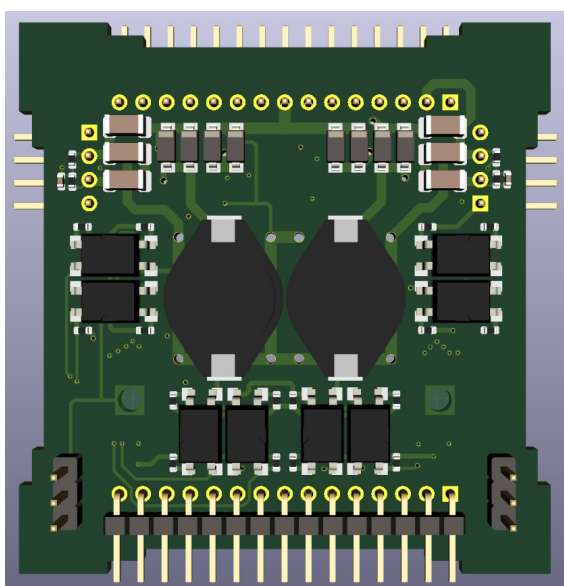
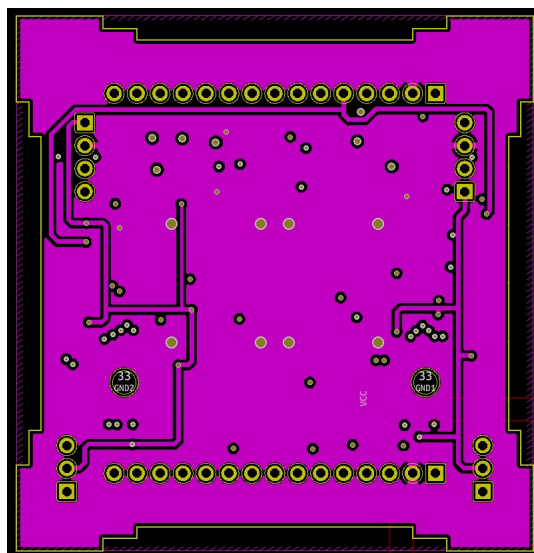
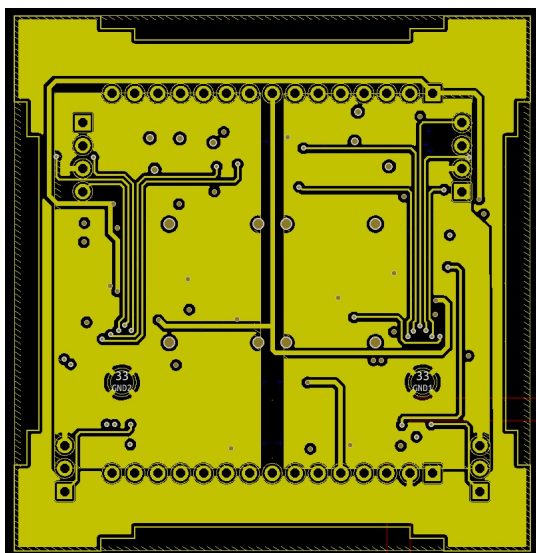
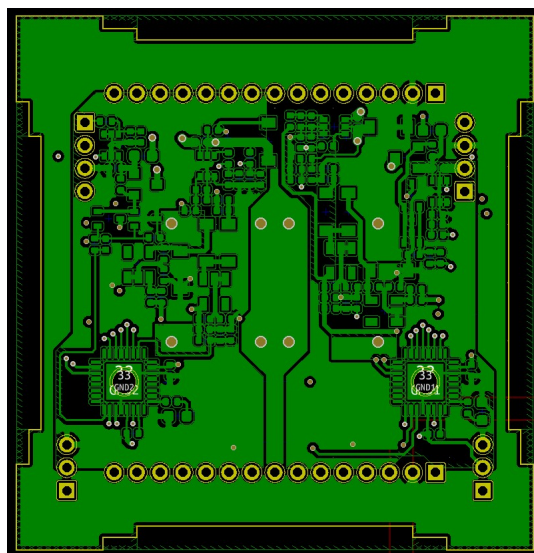
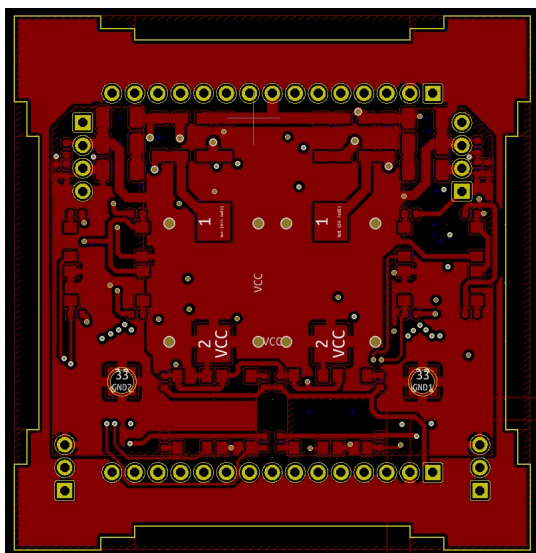


5.3. ábra. A fagyasztóban mért hőmérséklet

5.4. Kvalifikációs példány nyákterv

Közben véglegesítve lett a műhold belső paneljeinek mérete és elkészült a megfelelő alakú kontúr hozzájuk.

A kvalifikációs példány áramköre már nem házilag lesz elkészítve, hanem gyártatott nyákkal fogunk dolgozni. Ez lehetőséget ad kettőnél több réteg használatára. Erre a tervezés során szükségem is volt, mivel a panel két szélén az alrendszerek közötti összeköttetést megvalósító buszcsatlakozó kap helyet, így az áramkörök számára kisebb felület áll rendelkezésre. Az új panelen megtervezett áramkör látható az alábbi ábrákon:



5.4. ábra. A megtervezett áramkör két külső és két belső rétege, illetve a két oldala 3D-s nézetben

6. fejezet

Összefoglalás és folytatás

Munkám során megismerkedtem a Műegyetemen eddig készült műholdak energiaellátó rendszereivel. Megterveztem és elkészítettem a SMOG-2 műhold elsődleges energiaellátó rendszerének a prototípusát, amivel az áramkör működőképessége bizonyítva lett.

További feladat az energia fogyasztás minimalizálása érdekében a mikrokontrollerem fogyasztásának a csökkentése amikor nincs szükség arra, hogy a feszültségszabályzó áramkört működtesse, például amikor földárnyékban van a műhold. Ekkor csak hőmérsékleti adatok gyűjtése lehetséges.

Ki kell dolgozni az OBC-vel való kommunikációt, hogy a telemetria adatokat továbbítani tudjam.

A műhold kvalifikációs példányának a tervezésén kell még tovább dolgozni. Ezt már a végleges műholdban használt panelmérettel és alkatrészekkel fogom elkészíteni, majd ezen további tesztelésekkel kell megvizsgálni a teljes rendszerként való működését, mielőtt a végleges repülő példány megépítését elkezdeném.

Irodalomjegyzék

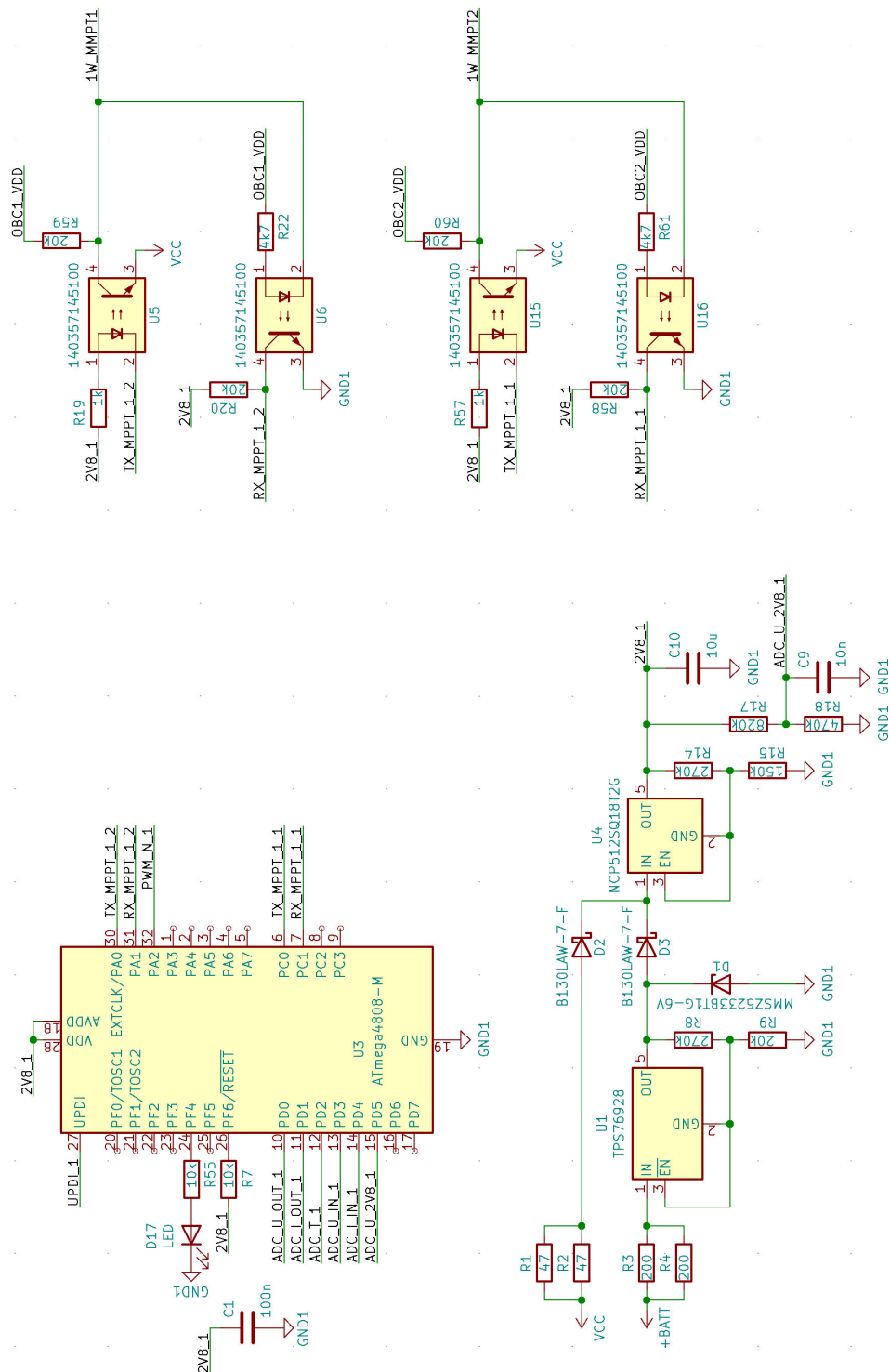
- [1] <http://gnd.bme.hu/smog>
- [2] Markotics Boldizsár, Takács Donát, TDK 2020.
- [3] Herman Tibor, A SMOG-1 PocketQube elsődleges energiaellátó rendszere (diplomamunka 2015)
- [4] <http://www.azurspace.com>
- [5] http://www.azurspace.com/images/0003429-01-01_DB_3G30C-Advanced.pdf
- [6] Zhongfu Zhou, John Macaulay An Emulated PV Source Based on an Unilluminated Solar Panel and DC Power Supply
- [7] Géczy Gábor, A SMOG-1 PocketQube másodlagos energiaellátó rendszere (diplomamunka 2016)
- [8] <https://www.ti.com/lit/ds/symlink/lm94021.pdf>
- [9] <https://www.onsemi.com/pdf/datasheet/ncp512-d.pdf>
- [10] <http://kicad-pcb.org/>
- [11] David Sanz Morales, Maximum Power Point Tracking Algorithms for Photovoltaic Applications
<http://lib.tkk.fi/Dipl/2010/urn100399.pdf>
- [12] <http://www.microchip.com/wwwproducts/en/ATMEGA4808>
- [13] <https://www.ti.com/product/INA213>
- [14] <https://www.ti.com/powertopologies>
- [15] <https://www.tij.co.jp/jp/lit/an/slva721a/slva721a.pdf>

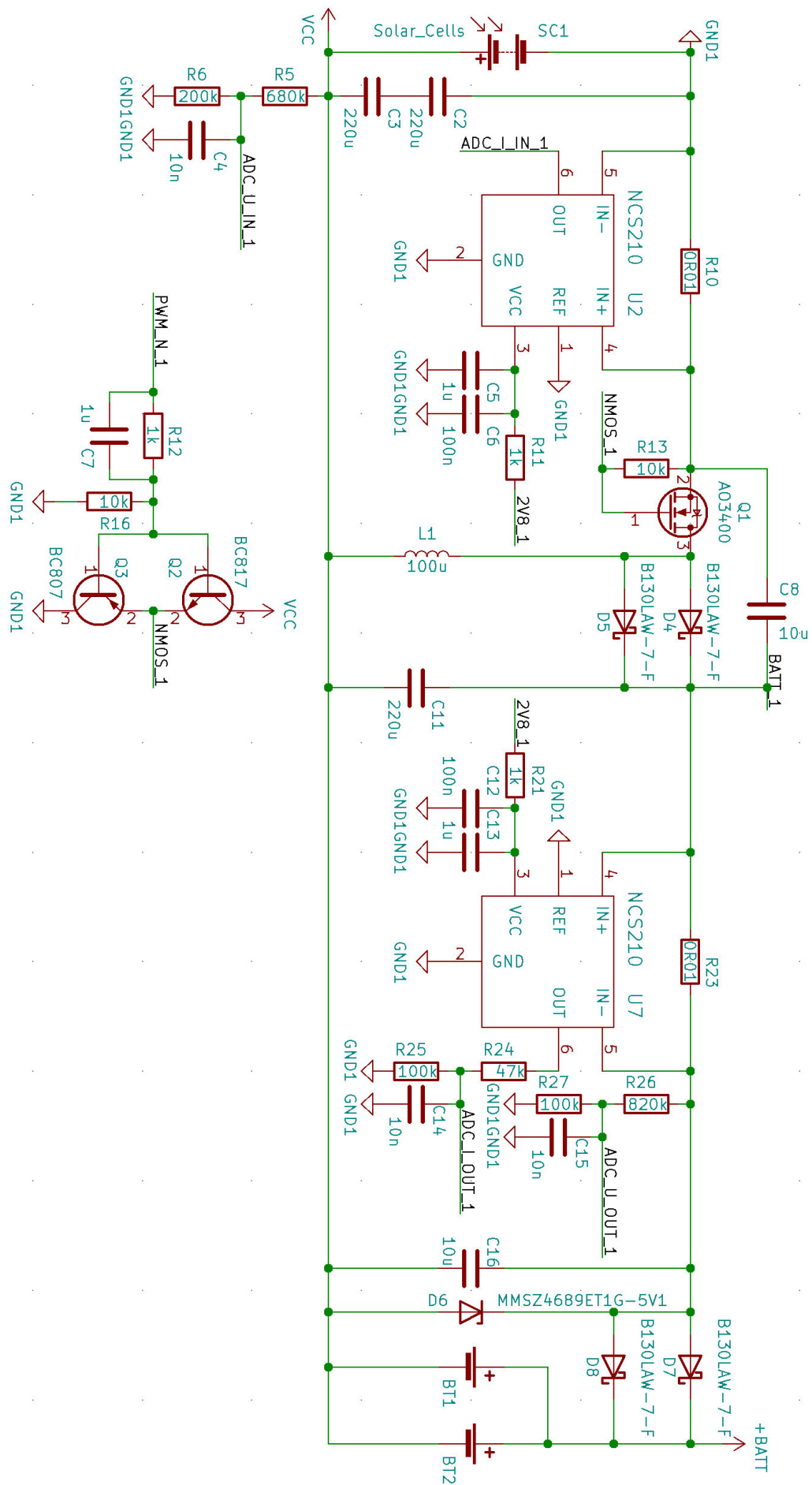
Ábrák jegyzéke

1.1. SMOG-P és SMOG-1 [1]	6
1.2. A SMOG-P mérései alapján készített elektroszmog-térkép [2]	7
2.1. A SMOG-2 rendszerterve	9
2.2. A napelemcella áram-feszültség karakterisztikája [3]	10
2.3. TJ Solar Cell 3G30C [4]	11
2.4. Az elsődleges földiállomás antennája	13
3.1. SMOG-P és SMOG-1 teszteléséhez használt napelem emulátor	14
3.2. Napelem cella ekvivalens áramköri modellje [6]	15
3.3. Az emulátor áram-feszültség karakterisztikája	15
3.4. Az emulátor két nézetből	16
3.5. Az emulátor szabályzójának a folyamatábrája	17
4.1. Az invertáló Buck-Boost konverter egyszerűsített rajza [15]	18
4.2. A negatív napelemfeszültségből pozitív feszültséget előállító kapcsolás	19
4.3. A MOSFET meghajtó áramköre	19
4.4. A mikrokontroller	20
4.5. A teljes feszültségszabályzó áramkör kapcsolási rajza	21
4.6. A mikrokontroller maximális órajel frekvenciája a feszültség függvényében [12]	22
4.7. A mikrokontroller áram felvétele a tápfeszültség és frekvencia függvényében [12]	22
4.8. A mikrokontroller feszültségszabályzó áramköre	23
4.9. A mikrokontroller tápellátásának blokkvázlata	24
4.10. A fél-duplex UART-ot megvalósító áramkör	24
4.11. Az OBC-vel való összeköttetést megvalósító optocsatolók	25
4.12. A nyomtatott áramkör tervének két oldala	26
4.13. Az elkészült áramkör két oldala	26
4.14. Műhold akkumulátor töltése napelem emulátorról	27
4.15. Maximális akkumulátor töltő áram különböző tekercsekkel	28
4.16. Az akkumulátor töltő árama különböző PWM frekvenciákon	28
4.17. Az áramkör hatásfoka különböző PWM frekvenciákon	29
4.18. A mikrokontroller fogyasztása az órajel frekvenciája függvényében	29
4.19. A tekercs és a dióda árama	30
4.20. A feszültségfordító kapcsolás két MOSFET-tel	31
4.21. A P csatornás MOSFET meghajtó áramköre	31
4.22. Az akkumulátor töltéshez használt mérési elrendezés	32
4.23. A mikrokontroller által mért áram és feszültség értékek	33
4.24. A mikrokontroller által mért áram és feszültség értékek	33

5.1.	Az MPPT algoritmus folyamatábrája	36
5.2.	A napelem feszültsége (sárga) és az akkumulátor töltőárama (kék)	38
5.3.	A fagyasztóban mért hőmérséklet	39
5.4.	A megtervezett áramkör két külső és két belső rétege, illetve a két oldala 3D-s nézetben	40

Függelék





```

1000 #define F_CPU 1000000UL
1002 #include <stdio.h>
1004 #include <stdlib.h>
1006 #include <inttypes.h>
1008 #include <avr/io.h>
1010 #include <avr/xmega.h>
1012 #include <util/delay.h>
1014 #include <stdbool.h>
1016 #include <math.h>
1018 #include <avr/interrupt.h>
1020 #include <util/atomic.h>
1022 #include "macro.h"

uint32_t systemClock = 0;
uint32_t lastClock1ms = 0;
uint32_t lastClock10ms = 0;

#define ADC _delay_us(1); \
        ADC0_COMMAND = 1; /* start conversion // wait for conversion to
        finish */ \
        while (ADC0_COMMAND & ADC_STCONV_bm)

double adc_internal_temp = 0.0;
uint16_t adc_T = 0;
uint16_t adc_2V7 = 0;
uint16_t adc_U = 0;
uint16_t inputVoltage = 0;
uint16_t inputCurrent = 0;
uint16_t outputVoltage = 0;
uint16_t outputCurrent = 0;

int8_t sigrow_offset = 0;
uint8_t sigrow_gain = 0;
uint16_t adc_reading = 0; // ADC conversion result

double efficiency = 0.0;

uint16_t maxVoltage = 4200; // mV
uint16_t dutyCycle = 0;
uint16_t bestDutyCycle = 0;

uint16_t lastOutputCurrent = 0;
uint16_t increment = 1;

void InitPWM()
{
    PORTA_DIR |= PIN2_bm; // pwm output
    PORTA_DIR |= PIN1_bm; // pwm output

    PORTMUX_TCAROUTEA = PORTMUX_TCA0_PORTA_gc;

    TCA0_SINGLE_DBGCTRL |= 1 << 0;

    TCA0_SINGLE_CTRLB = TCA_SINGLE_CMP2EN_bm |
        TCA_SINGLE_WGMODE_SINGLESLOPE_gc; // enable compare channel 2, set
        single-slope PWM mode

    TCA0_SINGLE_EVCTRL &= ~(TCA_SINGLE_CNTEI_bm); // disable event counting

```

```

1056     uint16_t top = 300;
1058     uint16_t top25 = (uint16_t)(top * 0.25);
1060     uint16_t top80 = (uint16_t)(top * 0.80);
1062     TCA0_SINGLE_PERBUF = top; // top
1064     TCA0_SINGLE_CMP2BUF = 0; // compare value

1066     TCA0_SINGLE_CTRLA = TCA_SINGLE_CLKSEL_DIV1_gc | TCA_SINGLE_ENABLE_bm; //
1068         set clock source (sys_clk / 1), enable timer
1070 }

1072 void AdcInit()
1074 {
1076     VREF_CTRLA |= 1 << 4; // ADC reference voltage 1V1

1078     ADC0_CTRLA &= ~(1 << RESSEL); // ADC resolution 10 bit
1080     ADC0_CTRLA |= 1 << ENABLE; // ADC enable

1082     ADC0_CTRLB = ACC1; // Sample Accumulation Number Select

1084     ADC0_CTRLC |= 1 << SAMPCAP; // Reduced size of sampling capacitance.
1086     Recommended above 1 V reference voltages.
1088     ADC0_CTRLC |= 1 << 1; // PRESC = 0x02, DIV8, ADCclk = 1.25 MHz @ F_CPU =
1090     10 MHz
1092     // ADC0_CALIB = 1; // 25% Duty Cycle (high 25% and low 75%) must be used
1094     for ADCclk < 1.5 MHz
1096     ADC0_CALIB = 0; // 50% Duty Cycle must be used if ADCclk > 1.5 MHz;
1098     ADCclk > 1.5 MHz requires a minimum operating voltage of 2.7 V

1100     ADC0_CTRLD |= 1 << 5; // delay 16 CLK_ADC cycles

1102     ADC0_MUXPOS = 0x00; // external temp sensor
1104 }

1106 void AdcInOut()
1108 {
1110     ADC0_CTRLB = 2; // 4 results accumulated
1112     ADC0_MUXPOS = 0x03; // U_IN
1114     ADC;
1116     inputVoltage = ADC0_RES;

1118     ADC0_CTRLB = 4; // 16 results accumulated
1120     ADC0_MUXPOS = 0x04; // I_IN
1122     ADC;
1124     inputCurrent = ADC0_RES;
1126     ADC0_CTRLB = 0;

1128     ADC0_CTRLB = 2; // 4 results accumulated
1130     ADC0_MUXPOS = 0x01; // U_OUT
1132     ADC;
1134     outputVoltage = ADC0_RES;

1136     ADC0_CTRLB = 4; // 16 results accumulated
1138     ADC0_MUXPOS = 0x02; // I_OUT
1140     ADC;
1142     outputCurrent = ADC0_RES;
1144     ADC0_CTRLB = 0;
1146 }

```

```

1110 void AdcExtTemp()
1111 {
1112     ADC0_MUXPOS = 0x00; // T
1113     ADC;
1114     adc_T = ADC0_RES;
1115 }
1116
1117 void AdcVoltage()
1118 {
1119     ADC0_MUXPOS = 0x06; // 2V7
1120     ADC;
1121     adc_2V7 = ADC0_RES;
1122
1123     ADC0_MUXPOS = 0x05; // U
1124     ADC;
1125     adc_U = ADC0_RES ;
1126 }
1127
1128 void MPPT()
1129 {
1130     MeasureAdc(); // ki- es bemeneti aram illetve feszultseg meres
1131
1132     inputPower = ((double)inputVoltage * inputCurrent); // napelem
1133     teljesitmeny
1134     efficiency = ((double)outputVoltage * outputCurrent) / inputPower; //
1135     hatasfok
1136
1137     if (inputPower > lastInputPower)
1138     {
1139         dutyCycle += increment;
1140     }
1141     else if (inputPower < lastInputPower)
1142     {
1143         increment *= -1; // kovetkezo lepes iranya
1144         dutyCycle += increment; // kitoltesi tenyezo valtoztatasa
1145     }
1146
1147     TCA0_SINGLE_CMP2BUF = dutyCycle; // PWM kitoltesi tenyezo beallitasa
1148     lastInputPower = inputPower;
1149 }
1150
1151 uint16_t MPPT_Sweep()
1152 {
1153     uint16_t bestDutyCycle = 0;
1154     uint32_t bestInputPower = 0;
1155     uint32_t inputPower = 0;
1156
1157     for (uint16_t i = top25; i < top80; i++) // 25% - 85%
1158     {
1159         TCA0_SINGLE_CMP2BUF = i; // kitoltesi tenyezo beallitasa
1160
1161         MeasureAdc(); // ki- es bemeneti aram illetve feszultseg meres
1162         inputPower = inputVoltage * inputCurrent; // napelem teljesitmeny
1163
1164         if (inputPower > bestInputPower)
1165         {
1166             bestInputPower = inputPower;
1167             bestDutyCycle = i;
1168         }
1169     }
1170 }

```



```

    }
1168     return bestDutyCycle;
1170 }
1172 int main(void)
1173 {
1174     _PROTECTED_WRITE(CLKCTRL_MCLKCTRLA, CLKCTRL_CLKSEL_OSC20M_gc); // select
        20 MHz oscillator
1174     _PROTECTED_WRITE(CLKCTRL_MCLKCTRLB, 0b00000001); // enable prescaler ,
        DIV2 -> f_cpu = 10 MHz

1176     AdcInit();
1176     InitPWM();
1178
1178     TCB0_CCMP = 50000; // f_cpu / ccmp = 10 MHz / 10000 = 1 kHz -> 1 ms
1180     TCB0_INTCTRL = 1;
1180     TCB0_CTRLA = 1; // timer enable
1182
1182     uint16_t bestOutputCurrent = 0;
1184
1184     TCA0_SINGLE_CMP2BUF = 0;
1186
1186     sei();
1188
1188     while (1)
1190     {
1190         if (systemClock != lastClock10ms) // true every 100 ms
1192         {
1192             lastClock10ms = systemClock;
1194             MPPT_Sweep();
1194         }
1196
1196         if (systemClock - lastClock1ms >= 10) // true every 1 ms
1198         {
1198             lastClock1ms = systemClock;
1200             MPPT();
1200         }
1202     }
1202 }
1204
1204 ISR (TCB0_INT_vect) // Interrupt Service Request for TCA0 Overflow
1206 {
1206     TCB0_INTFLAGS = TCB_CAPT_bm; // Clear the interrupt flag
1208     systemClock++;
1208 }

```

mppt.c

```

1000 #include <avr/io.h>
1002 #include <avr/wdt.h>
1002 #include <util/atomic.h>
1004 #include <interrupt.h>
1004 #include <stdbool.h>
1006 #include <math.h>
1006 #include "main.h"
1008 #include <util/delay.h>
1008 #include <avr/eeprom.h>
1010
1010 #define DEADTIME 1

```

```

1012 #define PI 3.1415926535897932

1014 #define CYLCE_TIME 10 // cycle time = CYCLE_TIME * 100 us

1016 #define NMOS OCR1B // nmos pwm output register
1017 #define PMOS OCR1A // pmos pwm output register
1018
1019 uint8_t ID = 0;
1020
1021 void InitADC(void)
1022 {
1023     DDRC &= ~(1 << 0); // C0 ADC0, output current
1024     DDRC &= ~(1 << 1); // C1 ADC1, input voltage
1025                     // ADC7, output voltage
1026
1027     ADMUX &= ~(1 << REFS0) & ~(1 << REFS1); // Voltage Reference: AREF,
1028         Internal Vref turned off
1029     ADMUX &= ~(1 << MUX0) & ~(1 << MUX1) & ~(1 << MUX2) & ~(1 << MUX3); //
1030         select ADC0, output current
1031
1032     ADCSRA |= 1 << ADPS0 | 1 << ADPS1 | 1 << ADPS2; // prescaler = 128, ADC
1033         clock frequency = 125 kHz, single conversion time = 13 ADC clock cycles
1034         / 125 kHz = 104 us
1035
1036     ADCSRA |= 1 << ADEN; // enable ADC
1037 }
1038
1039 uint16_t AdcOutputVoltage() // max = 5120 mV
1040 {
1041     ADMUX |= 1 << MUX0 | 1 << MUX1 | 1 << MUX2; // select ADC7, input voltage
1042
1043     ADCSRA |= 1 << ADSC; // start Conversion
1044     while (!(ADCSRA & (1 << ADIF))); // wait until conversion completes
1045     return ADC;
1046 }
1047
1048 uint16_t AdcInputVoltage() // max = 12890 mV
1049 {
1050     ADMUX |= 1 << MUX0; // select ADC1, input voltage
1051     ADMUX &= ~(1 << MUX1) & ~(1 << MUX2);
1052
1053     ADCSRA |= 1 << ADSC; // start Conversion
1054     while (!(ADCSRA & (1 << ADIF))); // wait until conversion completes
1055     return ADC;
1056 }
1057
1058 uint16_t AdcOutputCurrent()
1059 {
1060     ADMUX &= ~(1 << MUX0) & ~(1 << MUX1) & ~(1 << MUX2); // select ADC0,
1061         output current
1062
1063     ADCSRA |= 1 << ADSC; // start Conversion
1064     while (!(ADCSRA & (1 << ADIF))); // wait until conversion completes
1065     return ADC;
1066 }
1067
1068 void InitPWM(uint16_t top)
1069 {
1070     DDRB |= 1 << 1; // B1 output (PWM for p mos)

```

```

1066 DDRB |= 1 << 2; // B2 output (PWM for n mos)

1068 TCCR1A |= 1 << COM1A1; // Clear OC1A/OC1B on Compare Match when
    upcounting. Set OC1A/OC1B on Compare Match when downcounting.
TCCR1A |= 1 << COM1B1;

1070 TCCR1A &= ~(1 << WGM10); // PWM, Phase Correct, TOP: ICR1
1072 TCCR1A |= (1 << WGM11);
TCCR1B &= ~(1 << WGM12);
1074 TCCR1B |= (1 << WGM13);

1076 TCCR1B |= 1 << CS10; // Clock Select: clkIO / 1 (no prescaling)

1078 ICR1 = top; // max 2^16
}

1080 static volatile uint32_t counter = 0;

1082 ISR (TIMER2_COMPA_vect)
1084 {
    counter++;
1086 }

1088 void InitSystemClock(void)
{
1090 TCCR2A &= ~(1<<COM2A0) & ~(1<<COM2A1); // Normal port operation, OC2A
    disconnected
TCCR2A &= ~(1<<COM2B0) & ~(1<<COM2B1); // Normal port operation, OC2B
    disconnected

1092 TCCR2A &= ~(1 << WGM20); // Timer/Counter Mode of Operation: CTC, TOP:
    OCR2A
1094 TCCR2A |= 1 << WGM21;
TCCR2B &= ~(1 << WGM22);

1096 TCCR2B &= ~(1 << CS20); // Clock Select: F_CPU / 8 = 2.5 MHz, T = 0.4 us
1098 TCCR2B |= 1 << CS21;
TCCR2B &= ~(1 << CS22);

1100 OCR2A = 249; // (249 + 1) * T = 100 us

1102 TIMSK2 |= 1 << OCIE2A; // Timer/Counter2 Output Compare Match A Interrupt
    Enable
1104 }

1106 uint32_t SystemClockGetValue(void)
{
1108 uint32_t copy;
    ATOMIC_BLOCK(ATOMIC_FORCEON)
1110 {
        copy = counter;
1112 }
    return copy;
1114 }

1116 int main()
{
1118 PORTD &= ~(1 << 2); // LED off
    DDRD |= 1 << 2; // LED output

```

```

1120 //eeprom_busy_wait();
1122 //eeprom_write_byte((uint8_t*)(0), (uint8_t)ID); // write ID to EEPROM

1124 eeprom_busy_wait();
1126 ID = eeprom_read_byte((uint8_t*)0); // Read ID from EEPROM

1128 uint16_t pwmRes = 470; // pwm counter max value

1130 InitADC();
1132 InitSystemClock();
1134 InitPWM(pwmRes);

1136 uint16_t PWMvalue = 0;

1138 NMOS = 0; // PWMvalue + DEADTIME;
1140 PMOS = 0; // PWMvalue - DEADTIME;

1142 PORTD |= 1 << 2; // LED on
1144 _delay_ms(50);
1146 PORTD &= ~(1 << 2); // LED off

1148 double Kp = 0.05;

1150 int16_t error = 0;
1152 double lastError = 0.0;

1154 double yaw = 0.0 / 95500.0 * CYLCE_TIME; // RPM / 95500.0 * CYLCE_TIME
1156 double pitch = 0.0 / 95500.0 * CYLCE_TIME;
1158 double roll = 0.0 / 95500.0 * CYLCE_TIME;

1160 bool isDC = false;
1162 if (yaw == 0.0 && pitch == 0.0 && roll == 0.0) isDC = true; // true if no
1164 rotation

1166 double yawSum = yaw;
1168 double pitchSum = pitch;
1170 double rollSum = roll;

1172 double cosYaw = cos(yaw);
1174 double cosPitch = cos(pitch);
1176 double cosRoll = cos(roll);
1178 double sinYaw = sin(yaw);
1180 double sinPitch = sin(pitch);
1182 double sinRoll = sin(roll);

1184 double cosYawSum = cos(yawSum);
1186 double cosPitchSum = cos(pitchSum);
1188 double cosRollSum = cos(rollSum);
1190 double sinYawSum = sin(yawSum);
1192 double sinPitchSum = sin(pitchSum);
1194 double sinRollSum = sin(rollSum);

1196 double R[3][3] = { { cosYaw * cosPitch, cosYaw * sinPitch * sinRoll -
1198 sinYaw * cosRoll, cosYaw * sinPitch * cosRoll + sinYaw * sinRoll },
1200 { sinYaw * cosPitch, sinYaw * sinPitch * sinRoll +
1202 cosYaw * cosRoll, sinYaw * sinPitch * cosRoll - cosYaw * sinRoll },
1204 { -sinPitch, cosPitch * sinRoll,
1206 cosPitch * cosRoll } };

```

```

1176 double xyz[3] = { 0.0, 0.0, 0.0 };
1178 switch(ID)
1180 {
1182     case 1: xyz[0] = 1.0; break;
1184     case 2: xyz[1] = 1.0; break;
1186     case 3: xyz[2] = 1.0; break;
1188     case 4: xyz[0] = -1.0; break;
1190     case 5: xyz[1] = -1.0; break;
1192     case 6: xyz[2] = -1.0; break;
1194 }
1196 double A[3][1] = { { 0.0 },
1198                     { 0.0 },
1199                     { 0.0 } };
1200
1202 A[0][0] = xyz[0] * R[0][0] + xyz[1] * R[0][1] + xyz[2] * R[0][2];
1204 A[1][0] = xyz[0] * R[1][0] + xyz[1] * R[1][1] + xyz[2] * R[1][2];
1206 A[2][0] = xyz[0] * R[2][0] + xyz[1] * R[2][1] + xyz[2] * R[2][2];
1208
1210 xyz[0] = A[0][0];
1212 xyz[1] = A[0][1];
1214 xyz[2] = A[0][2];
1216
1218 // 1 pq 1*40*40 2350 mV 252.5 mA
1220 // 3 pq 2*40*80 4700 mV 505 mA
1222
1224 outputVoltageMax = 2000;
1226 outputCurrentMax = 100;
1228
1230 targetVoltage = outputVoltageMax;
1232 loadResistanceMin = outputVoltageMax / outputCurrentMax;
1234
1236 bool isCurrentLimit = false;
1238
1240 sei();
1242
1244 while(1)
1246 {
1248     systemClock = SystemClockGetValue();
1250
1252     if (systemClock - lastClock1ms >= CYLCE_TIME) // CYCLE_TIME = 1 -> 100
1254     us; CYCLE_TIME = 10 -> 1 ms,
1256     {
1258         lastClock1ms = systemClock;
1260
1262         yawSum += yaw;
1264         pitchSum += pitch;
1266         rollSum += roll;
1268
1270         cosYawSum = cos(yawSum);
1272         cosPitchSum = cos(pitchSum);
1274         cosRollSum = cos(rollSum);
1276         sinYawSum = sin(yawSum);
1278         sinPitchSum = sin(pitchSum);
1280         sinRollSum = sin(rollSum);
1282
1284         R[0][0] = cosYawSum * cosPitchSum;

```

```

1234     R[0][1] = cosYawSum * sinPitchSum * sinRollSum - sinYawSum *
cosRollSum;
1236     R[0][2] = cosYawSum * sinPitchSum * cosRollSum + sinYawSum *
sinRollSum;
1238     R[1][0] = sinYawSum * cosPitchSum;
1240     R[1][1] = sinPitchSum * sinRollSum + cosYawSum * cosRollSum;
1242     R[1][2] = sinYawSum * sinPitchSum * cosRollSum - cosYawSum *
sinRollSum;
1244     R[2][0] = -sinPitchSum;
1246     R[2][1] = cosPitchSum * sinRollSum;
1248     R[2][2] = cosPitchSum * cosRollSum;

1250     A[0][0] = xyz[0] * R[0][0] + xyz[1] * R[0][1] + xyz[2] * R[0][2];
1252     A[1][0] = xyz[0] * R[1][0] + xyz[1] * R[1][1] + xyz[2] * R[1][2];
1254     A[2][0] = xyz[0] * R[2][0] + xyz[1] * R[2][1] + xyz[2] * R[2][2];

1256     if (!isDC) targetVoltage = (int16_t)((double)outputVoltageMax * A
[0][0]);
1258     if (targetVoltage < 0) targetVoltage = 0;

1260     outputVoltage = AdcOutputVoltage() * 4.98; // ADC_REF_VOLTAGE / 1024
* adcOutputVoltage * 2.5133337; 5.065938239
1262     outputCurrent = AdcOutputCurrent() * 1.016889984; // ADC_REF_VOLTAGE
/ 1024 * adcOutputCurrent * 0.534271; 1.076889984

1264     loadResistance = outputVoltage / outputCurrent;

1266     if (outputCurrent > outputCurrentMax) // if current limit reached
{
1268         if (!isCurrentLimit)
{
1270             targetVoltage = loadResistance * outputCurrentMax; // new target
voltage
1272         }
1274         else isCurrentLimit = true;
1276     }
1278     else // no current limit
{
1280         isCurrentLimit = false;
1282         targetVoltage = (int16_t)((double)outputVoltageMax * A[0][0]);
1284     }

1286     error = targetVoltage - outputVoltage; // calculate output voltage
error

1288     if (error < 1) PORTD |= 1 << 2; // LED on
1290     else PORTD &= ~(1 << 2); // LED off

1292     PWMvalue += (error) * 0.02;

1294     if ((int16_t)((double)outputVoltageMax * A[0][0]) < 0) PWMvalue = 0;
// if output value is negative output voltage = 0
1296     if (PWMvalue > pwmRes - DEADTIME) PWMvalue = pwmRes - DEADTIME;
1298     else if (PWMvalue < DEADTIME) OCR1A = OCR1B = 0;
1300     else
{
1302         NMOS = PWMvalue + DEADTIME; // n mos
1304         PMOS = PWMvalue - DEADTIME;
1306     }

```